

## CHAPTER

# 12

# 偏微分方程數值解

## 引言

如果一個物體，它每一點的熱傳導率與通過該點之熱流方向無關，則此物體稱做等向 (*isotropic*) 體。設  $k$ 、 $c$  及  $\rho$  都是  $(x, y, z)$  的函數，分別代表在點  $(x, y, z)$  處的熱傳導率、比熱及物體密度。則求解偏微分方程

$$\frac{\partial}{\partial x} \left( k \frac{\partial u}{\partial x} \right) + \frac{\partial}{\partial y} \left( k \frac{\partial u}{\partial y} \right) + \frac{\partial}{\partial z} \left( k \frac{\partial u}{\partial z} \right) = c \rho \frac{\partial u}{\partial t}$$

可得等向體上的溫度分布  $u \equiv u(x, y, z, t)$ 。當  $k$ 、 $c$  及  $\rho$  都是常數時，此方程式叫做 3D 熱傳方程式，可寫為

$$\frac{\partial^2 u}{\partial x^2} + \frac{\partial^2 u}{\partial y^2} + \frac{\partial^2 u}{\partial z^2} = \frac{c \rho}{k} \frac{\partial u}{\partial t}$$

如果此物體的邊界形狀簡單，此方程式可以用傅立葉級數 (Fourier series) 求解。

在多數情形下， $k$ 、 $c$  及  $\rho$  並非常數，或者邊界形狀並不規則，此偏微分方程必須用近似法求解。本章即介紹這類問題的解法。

## ■ 橢圓型方程式 (Elliptic Equations)

偏微分方程的分類如同圓錐曲線。我們在 12.1 節所要探討的偏微分方程包含有  $u_{xx}(x, y) + u_{yy}(x, y)$  的項，屬於椭圓型 (elliptic) 方程式。我們要討論的特定方程式叫做普松方程 (Poisson equation)：

$$\frac{\partial^2 u}{\partial x^2}(x, y) + \frac{\partial^2 u}{\partial y^2}(x, y) = f(x, y)$$

在此方程式中我們設  $f$  為此問題的輸入，它定義於一個平面區域  $R$  及邊界  $S$ 。在探討與時間無關的物理問題時，經常出現此種方程式，例如平面區域中的穩態熱分布、平面重力位能分布、以及 2D 不可壓縮流之流場。

普松方程式要有唯一解，必須加入額外的限制條件。例如

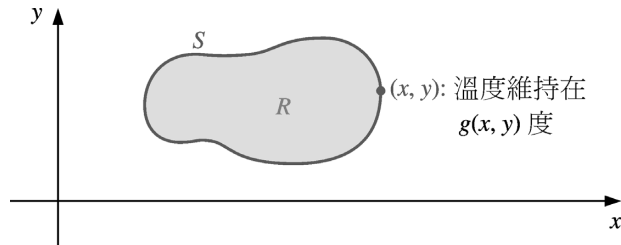
在探討平面穩態熱分布時，給定  $f(x, y) \equiv 0$ ，則方程式可簡化為

$$\frac{\partial^2 u}{\partial x^2}(x, y) + \frac{\partial^2 u}{\partial y^2}(x, y) = 0$$

此式叫做**拉普拉斯方程式** (Laplace's equation)。

如果區域內的溫度分布是取決於邊界上的溫度分布，則此條件叫做**Dirichlet 邊界條件** (Dirichlet boundary conditions)，對所有在  $R$  之邊界  $S$  上的  $(x, y)$  (見圖 12.1)，可寫為

$$u(x, y) = g(x, y)$$



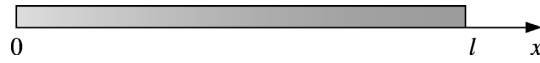
| 圖 12.1

## ■ 抛物線型方程式

在 12.2 節中，我們要考慮一個**拋物線型** (parabolic) 偏微分方程的數值解，其型式為：

$$\frac{\partial u}{\partial t}(x, t) - \alpha^2 \frac{\partial^2 u}{\partial x^2}(x, t) = 0$$

相對此方程式的物理問題為熱通過一根長度為  $l$  的長桿 (見圖 12.2)，假設長桿的每一個截面上溫度為均勻分布。這代表此長桿的橫向表面為完全絕緣。假設常數  $\alpha$  與位置無關，只與長桿材料的熱傳導率有關。



| 圖 12.2

對於此種熱傳問題的典型限制條件為，指定桿上的初始溫度分布

$$u(x, 0) = f(x)$$

並且描述端點的行為。例如，若指定端點維持固定溫度  $U_1$  及  $U_2$ ，邊界條件為

$$u(0, t) = U_1 \text{ 及 } u(l, t) = U_2$$

而桿上的熱分布會趨向終極溫度分布

$$\lim_{t \rightarrow \infty} u(x, t) = U_1 + \frac{U_2 - U_1}{l} x$$

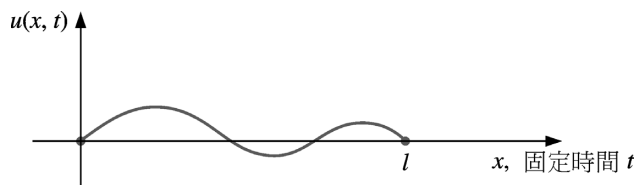
如果桿的 2 端為絕緣，其邊界條件成為

$$\frac{\partial u}{\partial x}(0, t) = 0 \quad \text{及} \quad \frac{\partial u}{\partial x}(l, t) = 0$$

此時沒有熱傳通過端點，桿上的終極溫度分布為等溫。在研究氣體的擴散時，拋物線型偏微分方程也非常重要，事實上在某些研究領域中，此方程式被叫做**擴散方程式** (diffusion equation)。

## ■ 雙曲線型方程式

在 12.3 節中要討論 1D 的**波動方程式** (wave equation)，這屬於**雙曲線型** (hyperbolic) 偏微分方程。假設有一條長度為  $l$  的彈性弦，固定在水平 2 點之間 (見圖 12.3)。



| 圖 12.3

如果讓此弦在垂直面上振動，則位置  $x$  處在時間  $t$  的垂直位移量  $u(x, t)$  滿足偏微分方程

$$\alpha^2 \frac{\partial^2 u}{\partial x^2}(x, t) - \frac{\partial^2 u}{\partial t^2}(x, t) = 0 \quad , \quad 0 < x < l \text{ 及 } 0 < t ,$$

其條件為弦的阻尼效應可忽略不計，且振幅不大。對此問題加入限制條件的方式為，給定弦初始位置與速度

$$u(x, 0) = f(x) \quad \text{及} \quad \frac{\partial u}{\partial t}(x, 0) = g(x) , \quad 0 \leq x \leq l$$

如果端點為固定，那我們同時有  $u(0, t) = 0$  及  $u(l, t) = 0$

其他會用到雙曲線型偏微分方程的物理問題還包括了一端或 2 端固定之梁的振動，有漏電情形下長導線上電力的輸送等。



## 12.1 橢圓型偏微分方程

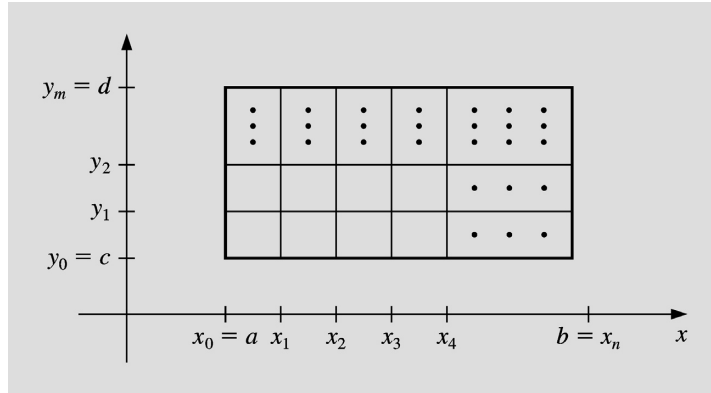
我們要考慮的橢圓型 (elliptic) 偏微分方程為普松方程式

$$\nabla^2 u(x, y) \equiv \frac{\partial^2 u}{\partial x^2}(x, y) + \frac{\partial^2 u}{\partial y^2}(x, y) = f(x, y) \quad (12.1)$$

在  $R = \{(x, y) \mid a < x < b, c < y < d\}$  上，且對  $(x, y) \in S, u(x, y) = g(x, y)$ ，其中  $S$  代表  $R$  的邊界。如果  $f$  和  $g$  在其定義域中為連續，則此問題存在有唯一解。

## ■ 選取格點

使用的解法類似於 11.3 節所介紹的，用於線性邊界值問題的有限差分法之 2D 型式。第一步是選擇整數  $n$  及  $m$  以定義步進距離  $h = (b - a)/n$  及  $k = (d - c)/m$ 。將區間  $[a, b]$  分成寬度  $h$  的  $n$  等分，將區間  $[c, d]$  分成寬度  $k$  的  $m$  等分（見圖 12.4）。



| 圖 12.4

在區域  $R$  中，以水平及垂直線連接座標  $(x_i, y_j)$  可得網格線，其中

$$x_i = a + ih, \quad i = 0, 1, \dots, n; \text{ 及 } y_j = c + jk, \quad j = 0, 1, \dots, m.$$

線  $x = x_i$  及  $y = y_j$  叫做 **格點線** (grid lines)，它們的交點叫做 **網格點** (mesh points)。對格點系統內部的每一個網格點  $(x_i, y_j)$ ， $i = 1, 2, \dots, n - 1$  及  $j = 1, 2, \dots, m - 1$ ，我們將變數  $x$  在  $x_i$  以泰勒級數展開，可得中央差分公式

$$\frac{\partial^2 u}{\partial x^2}(x_i, y_j) = \frac{u(x_{i+1}, y_j) - 2u(x_i, y_j) + u(x_{i-1}, y_j)}{h^2} - \frac{h^2}{12} \frac{\partial^4 u}{\partial x^4}(\xi_i, y_j) \quad (12.2)$$

其中  $\xi_i \in (x_{i-1}, x_{i+1})$ 。我們同樣將變數  $y$  在  $y_j$  以泰勒級數展開，可得中央差分公式

$$\frac{\partial^2 u}{\partial y^2}(x_i, y_j) = \frac{u(x_i, y_{j+1}) - 2u(x_i, y_j) + u(x_i, y_{j-1})}{k^2} - \frac{k^2}{12} \frac{\partial^4 u}{\partial y^4}(x_i, \eta_j) \quad (12.3)$$

其中  $\eta_j \in (y_{j-1}, y_{j+1})$ 。

將以上 2 式代入 (12.1) 式，我們可將點  $(x_i, y_j)$  的普松方程式寫做

$$\begin{aligned} & \frac{u(x_{i+1}, y_j) - 2u(x_i, y_j) + u(x_{i-1}, y_j)}{h^2} + \frac{u(x_i, y_{j+1}) - 2u(x_i, y_j) + u(x_i, y_{j-1})}{k^2} \\ &= f(x_i, y_j) + \frac{h^2}{12} \frac{\partial^4 u}{\partial x^4}(\xi_i, y_j) + \frac{k^2}{12} \frac{\partial^4 u}{\partial y^4}(x_i, \eta_j) \end{aligned}$$

對每個  $i = 1, 2, \dots, n - 1$  及  $j = 1, 2, \dots, m - 1$ 。其邊界條件為

$$u(x_0, y_j) = g(x_0, y_j) \text{ 及 } u(x_n, y_j) = g(x_n, y_j), \quad j = 0, 1, \dots, m$$

$$u(x_i, y_0) = g(x_i, y_0) \text{ 及 } u(x_i, y_m) = g(x_i, y_m), \quad i = 1, 2, \dots, n - 1$$

## ■ 有限差分法

如此可得**有限差分法**(Finite-Difference method)：

$$2\left[\left(\frac{h}{k}\right)^2 + 1\right]w_{ij} - (w_{i+1,j} + w_{i-1,j}) - \left(\frac{h}{k}\right)^2(w_{i,j+1} + w_{i,j-1}) = -h^2 f(x_i, y_j) \quad (12.4)$$

其中  $i = 1, 2, \dots, n - 1$  及  $j = 1, 2, \dots, m - 1$ ，且

$$w_{0j} = g(x_0, y_j) \text{ 及 } w_{mj} = g(x_n, y_j), \quad j = 0, 1, \dots, m \quad (12.5)$$

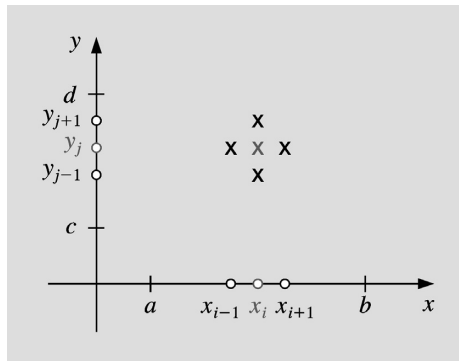
$$w_{i0} = g(x_i, y_0) \text{ 及 } w_{im} = g(x_i, y_m), \quad i = 1, 2, \dots, n - 1$$

其中  $w_{ij}$  為  $u(x_i, y_j)$  的近似值。此方法的局部截尾誤差為  $O(h^2 + k^2)$ 。

在 (12.4) 式中，任一個典型的方程式，包含了  $u(x, y)$  在下列格點的近似值：

$$(x_{i-1}, y_j) \text{ 、 } (x_i, y_j) \text{ 、 } (x_{i+1}, y_j) \text{ 、 } (x_i, y_{j-1}) \text{ 及 } (x_i, y_{j+1})$$

特別畫出這些格點的關係位置(見圖 12.5)，可以看出，每個方程式所用到的近似值，圍繞淺色 X 的  $(x_i, y_j)$  呈星形排列。



| 圖 12.5

如果我們將 (12.5) 式的邊界條件在適當的位置代入 (12.4) 式，也就是所有鄰接邊界點的  $(x_i, y_j)$ 。我們可得到一個  $(n - 1)(m - 1) \times (n - 1)(m - 1)$  的線性方程組，其未知數為  $w_{ij}$ ，也就是每個內部網格點上  $u(x_i, y_j)$  的近似值。

我們將所有內部網格點加以重新編號，可以使矩陣運算更有效率。我們建議的編號方式為(見 [Var1], p.210)，令

$$P_l = (x_i, y_j) \text{ 及 } w_l = w_{ij}$$

其中  $l = i + (m - 1 - j)(n - 1)$ ， $i = 1, 2, \dots, n - 1$  及  $j = 1, 2, \dots, m - 1$ 。這種編號方式可使網格由左至右，由上而下依序排列。這樣可確保我們在求  $w_{ij}$  時，解的是一個帶狀矩陣，帶寬最多為  $2n - 1$ 。

舉例來說，在  $n = 4$  及  $m = 5$  的情形下，這樣的編號法會得到圖 12.6 所示的網格點。

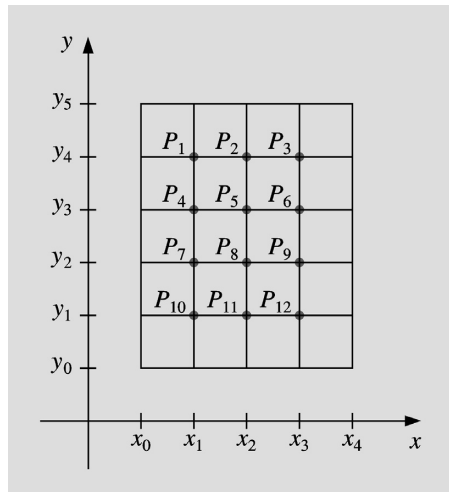


圖 12.6

**例題 1** 求一塊  $0.5 \times 0.5$  m 的正方形金屬薄板上的穩態溫度分布。有 2 個相鄰邊的溫度維持在  $0^{\circ}\text{C}$ ，而另外兩邊則是由  $0^{\circ}\text{C}$  開始，溫度以線性方式增加到對角的  $100^{\circ}\text{C}$ 。

**解** 將  $x$  及  $y$  座標軸置於溫度為 0 的 2 邊，此問題可表示為

$$\frac{\partial^2 u}{\partial x^2}(x, y) + \frac{\partial^2 u}{\partial y^2}(x, y) = 0$$

$(x, y)$  在集合  $R = \{(x, y) \mid 0 < x < 0.5, 0 < y < 0.5\}$  之中，邊界條件為

$$u(0, y) = 0 \quad , \quad u(x, 0) = 0 \quad , \quad u(x, 0.5) = 200x \quad \text{及} \quad u(0.5, y) = 200y$$

若  $n = m = 4$ ，此問題之網格如圖 12.7 所示，而其差分方程式 (12.4) 為

$$4w_{ij} - w_{i+1j} - w_{i-1j} - w_{ij-1} - w_{ij+1} = 0$$

$i = 1, 2, 3$  及  $j = 1, 2, 3$ 。

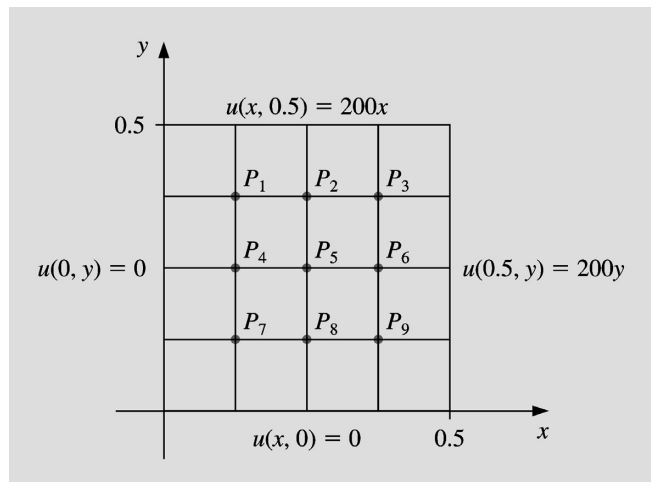


圖 12.7

將這些方程式用新編號的內部格點  $w_i = u(P_i)$  來表示，可得點  $P_i$  的方程式為：

$$\begin{array}{ll} P_1 : & 4w_1 - w_2 - w_4 = w_{0,3} + w_{1,4} \\ P_2 : & 4w_2 - w_3 - w_1 - w_5 = w_{2,4} \\ P_3 : & 4w_3 - w_2 - w_6 = w_{4,3} + w_{3,4} \\ P_4 : & 4w_4 - w_5 - w_1 - w_7 = w_{0,2} \\ P_5 : & 4w_5 - w_6 - w_4 - w_2 - w_8 = 0 \\ P_6 : & 4w_6 - w_5 - w_3 - w_9 = w_{4,2} \\ P_7 : & 4w_7 - w_8 - w_4 = w_{0,1} + w_{1,0} \\ P_8 : & 4w_8 - w_9 - w_7 - w_5 = w_{2,0} \\ P_9 : & 4w_9 - w_8 - w_6 = w_{3,0} + w_{4,1} \end{array}$$

方程式等號右側為邊界條件。

事實上，由邊界條件得

$$w_{1,0} = w_{2,0} = w_{3,0} = w_{0,1} = w_{0,2} = w_{0,3} = 0$$

$$w_{1,4} = w_{4,1} = 25 \quad , \quad w_{2,4} = w_{4,2} = 50 \quad , \quad \text{及} \quad w_{3,4} = w_{4,3} = 75$$

所以此問題的線性方程組為

表 12.1

$$\left[ \begin{array}{ccccccccc} 4 & -1 & 0 & -1 & 0 & 0 & 0 & 0 & 0 \\ -1 & 4 & -1 & 0 & -1 & 0 & 0 & 0 & 0 \\ 0 & -1 & 4 & 0 & 0 & -1 & 0 & 0 & 0 \\ -1 & 0 & 0 & 4 & -1 & 0 & -1 & 0 & 0 \\ 0 & -1 & 0 & -1 & 4 & -1 & 0 & -1 & 0 \\ 0 & 0 & -1 & 0 & -1 & 4 & 0 & 0 & -1 \\ 0 & 0 & 0 & -1 & 0 & 0 & 4 & -1 & 0 \\ 0 & 0 & 0 & 0 & -1 & 0 & -1 & 4 & -1 \\ 0 & 0 & 0 & 0 & 0 & -1 & 0 & -1 & 4 \end{array} \right] \left[ \begin{array}{c} w_1 \\ w_2 \\ w_3 \\ w_4 \\ w_5 \\ w_6 \\ w_7 \\ w_8 \\ w_9 \end{array} \right] = \left[ \begin{array}{c} 25 \\ 50 \\ 150 \\ 0 \\ 0 \\ 50 \\ 0 \\ 0 \\ 25 \end{array} \right]$$

$i$	$w_i$
1	18.75
2	37.50
3	56.25
4	12.50
5	25.00
6	37.50
7	6.25
8	12.50
9	18.75

用高斯-賽德 (Gauss-Seidel) 法求得的  $w_1, w_2, \dots, w_9$  列於表 12.1。

這些答案就是確解，因為真正的確解  $u(x, y) = 400xy$ ，其偏導數

$$\frac{\partial^4 u}{\partial x^4} = \frac{\partial^4 u}{\partial y^4} \equiv 0$$

所以在每一步的截尾誤差為 0。

在例題 1 中所考慮的問題，其網格在兩個方向的大小都是 0.125，且只須要解  $9 \times 9$  的線性方程組。這樣的簡化情況無法顯示出方程組很大時可能出現的問題。算則 12.1 用高斯-賽德迭代法解線性方程組，並許可不同軸向的網格可有不同的大小。

### 算則 12.1 普松方程式有限差分 (Poisson Equation Finite-Difference)

求普松方程式

$$\frac{\partial^2 u}{\partial x^2}(x, y) + \frac{\partial^2 u}{\partial y^2}(x, y) = f(x, y), \quad a \leq x \leq b, \quad c \leq y \leq d$$

在邊界條件

$$u(x, y) = g(x, y) \text{ 若 } x = a \text{ 或 } x = b \text{ 且 } c \leq y \leq d$$

及

$$u(x, y) = g(x, y) \text{ 若 } y = c \text{ 或 } y = d \text{ 且 } a \leq x \leq b$$

之近似解：

**INPUT** 端點  $a, b, c, d$ ；整數  $m \geq 3$  及  $n \geq 3$ ；容許誤差  $TOL$ ；最大迭代次數  $N$ 。

**OUTPUT** 在每個  $i=1, \dots, n-1$  及  $j=1, \dots, m-1$  處的  $u(x_i, y_j)$  的近似值  $w_{i,j}$ ，或超過最大迭代次數的訊息。

**Step 1** Set  $h = (b-a)/n$ ;  
 $k = (d-c)/m$ .

**Step 2** For  $i = 1, \dots, n-1$  set  $x_i = a + ih$ . (Steps 2 及 3 建構格點)

**Step 3** For  $j = 1, \dots, m-1$  set  $y_j = c + jk$ .

**Step 4** For  $i = 1, \dots, n-1$   
for  $j = 1, \dots, m-1$  set  $w_{i,j} = 0$ .

**Step 5** Set  $\lambda = h^2/k^2$ ;  
 $\mu = 2(1 + \lambda)$ ;  
 $l = 1$ .

**Step 6** While  $l \leq N$  do Steps 7–20. (Steps 7–20 執行高斯-賽德迭代)

**Step 7** Set  $z = (-h^2 f(x_1, y_{m-1}) + g(a, y_{m-1}) + \lambda g(x_1, d) + \lambda w_{1,m-2} + w_{2,m-1}) / \mu$ ;  
 $NORM = |z - w_{1,m-1}|$ ;  
 $w_{1,m-1} = z$ .

**Step 8** For  $i = 2, \dots, n-2$   
set  $z = (-h^2 f(x_i, y_{m-1}) + \lambda g(x_i, d) + w_{i-1,m-1} + w_{i+1,m-1} + \lambda w_{i,m-2}) / \mu$ ;  
if  $|w_{i,m-1} - z| > NORM$  then set  $NORM = |w_{i,m-1} - z|$ ;  
set  $w_{i,m-1} = z$ .

**Step 9** Set  $z = (-h^2 f(x_{n-1}, y_{m-1}) + g(b, y_{m-1}) + \lambda g(x_{n-1}, d) + w_{n-2,m-1} + \lambda w_{n-1,m-2}) / \mu$ ;  
if  $|w_{n-1,m-1} - z| > NORM$  then set  $NORM = |w_{n-1,m-1} - z|$ ;  
set  $w_{n-1,m-1} = z$ .

**Step 10** For  $j = m-2, \dots, 2$  do Steps 11, 12, and 13.

**Step 11** Set  $z = (-h^2 f(x_1, y_j) + g(a, y_j) + \lambda w_{1,j+1} + \lambda w_{1,j-1} + w_{2,j}) / \mu$ ;  
if  $|w_{1,j} - z| > NORM$  then set  $NORM = |w_{1,j} - z|$ ;  
set  $w_{1,j} = z$ .

**Step 12** For  $i = 2, \dots, n-2$   
set  $z = (-h^2 f(x_i, y_j) + w_{i-1,j} + \lambda w_{i,j+1} + w_{i+1,j} + \lambda w_{i,j-1}) / \mu$ ;  
if  $|w_{i,j} - z| > NORM$  then set  $NORM = |w_{i,j} - z|$ ;  
set  $w_{i,j} = z$ .

**Step 13** Set  $z = (-h^2 f(x_{n-1}, y_j) + g(b, y_j) + w_{n-2,j} + \lambda w_{n-1,j+1} + \lambda w_{n-1,j-1}) / \mu$ ;

if  $|w_{n-1,j} - z| > NORM$  then set  $NORM = |w_{n-1,j} - z|$ ;  
set  $w_{n-1,j} = z$ .

**Step 14** Set  $z = (-h^2 f(x_1, y_1) + g(a, y_1) + \lambda g(x_1, c) + \lambda w_{1,2} + w_{2,1}) / \mu$ ;  
if  $|w_{1,1} - z| > NORM$  then set  $NORM = |w_{1,1} - z|$ ;  
set  $w_{1,1} = z$ .

**Step 15** For  $i = 2, \dots, n-2$   
set  $z = (-h^2 f(x_i, y_1) + \lambda g(x_i, c) + w_{i-1,1} + \lambda w_{i,2} + w_{i+1,1}) / \mu$ ;  
if  $|w_{i,1} - z| > NORM$  then set  $NORM = |w_{i,1} - z|$ ;  
set  $w_{i,1} = z$ .

**Step 16** Set  $z = (-h^2 f(x_{n-1}, y_1) + g(b, y_1) + \lambda g(x_{n-1}, c) + w_{n-2,1} + \lambda w_{n-1,2}) / \mu$ ;  
if  $|w_{n-1,1} - z| > NORM$  then set  $NORM = |w_{n-1,1} - z|$ ;  
set  $w_{n-1,1} = z$ .

**Step 17** If  $NORM \leq TOL$  then do Steps 18 and 19.

**Step 18** For  $i = 1, \dots, n-1$   
for  $j = 1, \dots, m-1$  OUTPUT  $(x_i, y_j, w_{i,j})$ .

**Step 19** STOP. (程序成功)

**Step 20** Set  $l = l + 1$ .

**Step 21** OUTPUT ('Maximum number of iterations exceeded');  
(程序失敗)  
STOP.

雖然為了簡單，在算則 12.1 中用的是高斯-賽德迭代法，但如果方程式數目在 100 以下時，還是用例如高斯消去法的直接法較好，因為正定的特性可確保計算對捨入誤差的穩定。特別是一般化的 Crout 因式分解算則 6.7(見 [Var1], p. 221)，用於這種問題的效率很好，因為此方程組的矩陣可寫為對稱塊狀三對角線 (block tridiagonal) 型式

$$\begin{bmatrix} A_1 & C_1 & 0 & \cdots & \cdots & \cdots & 0 \\ C_1 & A_2 & C_2 & & & & \\ 0 & C_2 & A_3 & & & & \\ & & & \ddots & & & \\ & & & & \ddots & & \\ 0 & \cdots & \cdots & 0 & C_{m-1} & C_{m-1} & A_{m-1} \end{bmatrix}$$

區塊大小為  $(n-1) \times (n-1)$ 。

## ■ 選擇迭代法

對於較大的方程組，應該使用迭代法，特別是算則 7.3 的 SOR 法。此種情形下的最佳  $\omega$  值則是來自，當  $A$  分解為對角線矩陣  $D$  及上和下三角矩陣  $U$  及  $L$ ，

$$A = D - L - U$$

且  $B$  為 Jacobi 法的矩陣

$$B = D^{-1}(L + U)$$

則  $B$  的頻譜半徑為 (見 [Var1])

$$\rho(B) = \frac{1}{2} \left[ \cos\left(\frac{\pi}{m}\right) + \cos\left(\frac{\pi}{n}\right) \right]$$

因此， $\omega$  的值為

$$\omega = \frac{2}{1 + \sqrt{1 - [\rho(B)]^2}} = \frac{4}{2 + \sqrt{4 - \left[ \cos\left(\frac{\pi}{m}\right) + \cos\left(\frac{\pi}{n}\right) \right]^2}}$$

在算則中也可加入針對區塊的方法，以加速 SOR 法的收斂。對此方法的說明可參見 [Var1], pp. 219-223。

**例題 2** 利用普松有限差分法，及  $n=6$  和  $m=5$ 、容許誤差  $10^{-10}$  求以下偏微分方程的近似解

$$\frac{\partial^2 u}{\partial x^2}(x, y) + \frac{\partial^2 u}{\partial y^2}(x, y) = xe^y, \quad 0 < x < 2, \quad 0 < y < 1$$

其邊界條件為

$$\begin{aligned} u(0, y) &= 0, \quad u(2, y) = 2e^y, \quad 0 \leq y \leq 1 \\ u(x, 0) &= x, \quad u(x, 1) = ex, \quad 0 \leq x \leq 2 \end{aligned}$$

並將結果與確解  $u(x, y) = xe^y$  做比較。

**解** 用算則 12.1，並將最大迭代次數設為  $N=100$ ，所得結果如表 12.2。在 Step 17 中高斯-賽德法的終止準則為

$$\left| w_{ij}^{(l)} - w_{ij}^{(l-1)} \right| \leq 10^{-10}$$

$i=1,\dots,5$  及  $j=1,\dots,4$ 。我們獲得準確的差分方程的解，迭代程序停止在  $l=61$ 。計算結果以及確解一同列於表 12.2。 ■

表 12.2

$i$	$j$	$x_i$	$y_j$	$w_{i,j}^{(61)}$	$u(x_i, y_j)$	$ u(x_i, y_j) - w_{i,j}^{(61)} $
1	1	0.3333	0.2000	0.40726	0.40713	$1.30 \times 10^{-4}$
1	2	0.3333	0.4000	0.49748	0.49727	$2.08 \times 10^{-4}$
1	3	0.3333	0.6000	0.60760	0.60737	$2.23 \times 10^{-4}$
1	4	0.3333	0.8000	0.74201	0.74185	$1.60 \times 10^{-4}$
2	1	0.6667	0.2000	0.81452	0.81427	$2.55 \times 10^{-4}$
2	2	0.6667	0.4000	0.99496	0.99455	$4.08 \times 10^{-4}$
2	3	0.6667	0.6000	1.2152	1.2147	$4.37 \times 10^{-4}$
2	4	0.6667	0.8000	1.4840	1.4837	$3.15 \times 10^{-4}$
3	1	1.0000	0.2000	1.2218	1.2214	$3.64 \times 10^{-4}$
3	2	1.0000	0.4000	1.4924	1.4918	$5.80 \times 10^{-4}$
3	3	1.0000	0.6000	1.8227	1.8221	$6.24 \times 10^{-4}$
3	4	1.0000	0.8000	2.2260	2.2255	$4.51 \times 10^{-4}$
4	1	1.3333	0.2000	1.6290	1.6285	$4.27 \times 10^{-4}$
4	2	1.3333	0.4000	1.9898	1.9891	$6.79 \times 10^{-4}$
4	3	1.3333	0.6000	2.4302	2.4295	$7.35 \times 10^{-4}$
4	4	1.3333	0.8000	2.9679	2.9674	$5.40 \times 10^{-4}$
5	1	1.6667	0.2000	2.0360	2.0357	$3.71 \times 10^{-4}$
5	2	1.6667	0.4000	2.4870	2.4864	$5.84 \times 10^{-4}$
5	3	1.6667	0.6000	3.0375	3.0369	$6.41 \times 10^{-4}$
5	4	1.6667	0.8000	3.7097	3.7092	$4.89 \times 10^{-4}$

## 習題組 12.1 完整習題請見隨書光碟

1. 用算則 12.1 求以下橢圓偏微分方程之近似解：

$$\frac{\partial^2 u}{\partial x^2} + \frac{\partial^2 u}{\partial y^2} = 4, \quad 0 < x < 1, \quad 0 < y < 2$$

$$u(x, 0) = x^2, \quad u(x, 2) = (x - 2)^2, \quad 0 \leq x \leq 1$$

$$u(0, y) = y^2, \quad u(1, y) = (y - 1)^2, \quad 0 \leq y \leq 2$$

使用  $h = k = \frac{1}{2}$ ，將結果與確解  $u(x, y) = (x - y)^2$  相比。

2. 用算則 12.1 求以下橢圓偏微分方程之近似解：

$$\frac{\partial^2 u}{\partial x^2} + \frac{\partial^2 u}{\partial y^2} = 0, \quad 1 < x < 2, \quad 0 < y < 1$$

$$u(x, 0) = 2 \ln x, \quad u(x, 1) = \ln(x^2 + 1), \quad 1 \leq x \leq 2$$

$$u(1, y) = \ln(y^2 + 1), \quad u(2, y) = \ln(y^2 + 4), \quad 0 \leq y \leq 1.$$

使用  $h = k = \frac{1}{3}$ ，將結果與確解  $u(x, y) = \ln(x^2 + y^2)$  相比。

3. 用算則 12.1 求下列橢圓型偏微分方程的近似解：

a.  $\frac{\partial^2 u}{\partial x^2} + \frac{\partial^2 u}{\partial y^2} = 0, \quad 0 < x < 1, \quad 0 < y < 1;$

$$u(x, 0) = 0, \quad u(x, 1) = x, \quad 0 \leq x \leq 1$$

$$u(0, y) = 0, \quad u(1, y) = y, \quad 0 \leq y \leq 1$$

使用  $h = k = 0.2$ ，將結果與確解  $u(x, y) = xy$  相比。

b.  $\frac{\partial^2 u}{\partial x^2} + \frac{\partial^2 u}{\partial y^2} = -(\cos(x + y) + \cos(x - y)), \quad 0 < x < \pi, \quad 0 < y < \frac{\pi}{2};$

$$u(0, y) = \cos y, \quad u(\pi, y) = -\cos y, \quad 0 \leq y \leq \frac{\pi}{2}$$

$$u(x, 0) = \cos x, \quad u\left(x, \frac{\pi}{2}\right) = 0, \quad 0 \leq x \leq \pi$$

使用  $h = \pi/5$  及  $k = \pi/10$ ，將結果與確解  $u(x, y) = \cos x \cos y$  相比。

c.  $\frac{\partial^2 u}{\partial x^2} + \frac{\partial^2 u}{\partial y^2} = (x^2 + y^2)e^{xy}, \quad 0 < x < 2, \quad 0 < y < 1;$

$$u(0, y) = 1, \quad u(2, y) = e^{2y}, \quad 0 \leq y \leq 1$$

$$u(x, 0) = 1, \quad u(x, 1) = e^x, \quad 0 \leq x \leq 2$$

使用  $h = 0.2$  及  $k = 0.1$ ，將結果與確解  $u(x, y) = e^{xy}$  相比。

d.  $\frac{\partial^2 u}{\partial x^2} + \frac{\partial^2 u}{\partial y^2} = \frac{x}{y} + \frac{y}{x}, \quad 1 < x < 2, \quad 1 < y < 2;$

$$u(x, 1) = x \ln x, \quad u(x, 2) = x \ln(4x^2), \quad 1 \leq x \leq 2$$

$$u(1, y) = y \ln y, \quad u(2, y) = 2y \ln(2y), \quad 1 \leq y \leq 2$$

使用  $h = k = 0.1$ ，將結果與確解  $u(x, y) = xy \ln xy$  相比。

4. 用外推法及  $h_0 = 0.2$ 、 $h_1 = h_0/2$  及  $h_2 = h_0/4$ ，重複習題 3(a)。

5. 建構一個類似於算則 12.1 的算則，用 SOR 法及最佳之  $\omega$  值取代高斯-賽德法解線性方程組。

6. 用習題 5 所建構之算則重做習題 3。

7. 一條同軸電纜，內導線為 0.1 吋見方，外導線為 0.5 吋見方。纜線截面上任一點的電位可用拉普拉斯方程式來描述。設內導線保持在 0 volts 而外導線維持 110 volts，求兩導線間的電位。令格點的水平間隔  $h = 0.1$  in，垂直間隔為  $k = 0.1$  in，區域為

$$D = \{(x, y) \mid 0 \leq x, y \leq 0.5\}$$

在每個網格點求解拉普拉斯方程式，並利用兩組邊界條件導出可用高斯-賽德法求解的線性方程組。

8. 在一塊 6 cm 乘 5 cm 的矩形銀板上，熱量以  $q = 1.5 \text{ cal/cm}^3 \cdot \text{s}$  的速率均勻的在每一點上產生。

令  $x$  代表沿著長邊 (6 cm) 的距離， $y$  為沿著短邊 (5 cm) 的距離。設邊緣的溫度維持在

$$u(x, 0) = x(6 - x), \quad u(x, 5) = 0, \quad 0 \leq x \leq 6$$

$$u(0, y) = y(5 - y), \quad u(6, y) = 0, \quad 0 \leq y \leq 5$$

其中原點位於銀板的一角，座標為  $(0, 0)$ ， $x$  與  $y$  軸分別與板的長邊與短邊重合。穩態溫度分布  $u = u(x, y)$  滿足普松方程式：

$$\frac{\partial^2 u}{\partial x^2}(x, y) + \frac{\partial^2 u}{\partial y^2}(x, y) = -\frac{q}{K}, \quad 0 < x < 6, \quad 0 < y < 5$$

其中熱傳導係數  $K$  為  $1.04 \text{ cal/cm} \cdot \text{deg} \cdot \text{s}$ 。用算則 12.1 及  $h = 0.4$  和  $k = 1/3$  求  $u(x, y)$  的近似解。

## 12.2 拋物線型偏微分方程

我們要探討的拋物線型偏微分方程是熱傳，或稱擴散方程式

$$\frac{\partial u}{\partial t}(x, t) = \alpha^2 \frac{\partial^2 u}{\partial x^2}(x, t), \quad 0 < x < l, \quad t > 0 \quad (12.6)$$

給定條件

$$u(0, t) = u(l, t) = 0, \quad t > 0, \quad \text{及 } u(x, 0) = f(x), \quad 0 \leq x \leq l$$

我們用類似於 12.1 節的有限差分法，求以上方程式的近似解。

首先選一個整數  $m > 0$  並定義  $x$  軸的步進距離  $h = l/m$ 。然後選擇一個時間步進  $k$ 。在此情況下，其格點為  $(x_i, t_j)$ ，其中  $x_i = ih$ ， $i = 0, 1, \dots, m$ ，及  $t_j = jk$ ， $j = 0, 1, \dots$ 。

### ■ 前向差分法

我們對變數  $t$  用泰勒級數展開可得差分式

$$\frac{\partial u}{\partial t}(x_i, t_j) = \frac{u(x_i, t_j + k) - u(x_i, t_j)}{k} - \frac{k}{2} \frac{\partial^2 u}{\partial t^2}(x_i, \mu_j) \quad (12.7)$$

其中  $\mu_j \in (t_j, t_{j+1})$ ，而對  $x$  做泰勒級數展開可得差分式

$$\frac{\partial^2 u}{\partial x^2}(x_i, t_j) = \frac{u(x_i + h, t_j) - 2u(x_i, t_j) + u(x_i - h, t_j)}{h^2} - \frac{h^2}{12} \frac{\partial^4 u}{\partial x^4}(\xi_i, t_j) \quad (12.8)$$

其中  $\xi_i \in (x_{i-1}, x_{i+1})$ 。

由 (12.6) 式可知，在內部格點  $(x_i, t_j)$ ， $i = 1, 2, \dots, m - 1$  且  $j = 1, 2, \dots$ ，我們有

$$\frac{\partial u}{\partial t}(x_i, t_j) - \alpha^2 \frac{\partial^2 u}{\partial x^2}(x_i, t_j) = 0$$

所以，使用差分式 (12.7) 及 (12.8) 式的有限差分法為

$$\frac{w_{ij+1} - w_{ij}}{k} - \alpha^2 \frac{w_{i+1,j} - 2w_{ij} + w_{i-1,j}}{h^2} = 0 \quad (12.9)$$

其中  $w_{ij}$  是  $u(x_i, t_j)$  的近似值。

此有限差分公式的局部截尾誤差為

$$\tau_{ij} = \frac{k}{2} \frac{\partial^2 u}{\partial t^2}(x_i, \mu_j) - \alpha^2 \frac{h^2}{12} \frac{\partial^4 u}{\partial x^4}(\xi_i, t_j) \quad (12.10)$$

由 (12.9) 式解  $w_{ij+1}$  得

$$w_{ij+1} = \left(1 - \frac{2\alpha^2 k}{h^2}\right) w_{ij} + \alpha^2 \frac{k}{h^2} (w_{i+1,j} + w_{i-1,j}) \quad (12.11)$$

其中  $i = 1, 2, \dots, m-1$  且  $j = 1, 2, \dots$ 。

所以我們有

$$w_{0,0} = f(x_0), \quad w_{1,0} = f(x_1), \quad \dots \quad w_{m,0} = f(x_m)$$

然後產生下一個  $t$  列如下

$$w_{0,1} = u(0, t_1) = 0$$

$$w_{1,1} = \left(1 - \frac{2\alpha^2 k}{h^2}\right) w_{1,0} + \alpha^2 \frac{k}{h^2} (w_{2,0} + w_{0,0})$$

$$w_{2,1} = \left(1 - \frac{2\alpha^2 k}{h^2}\right) w_{2,0} + \alpha^2 \frac{k}{h^2} (w_{3,0} + w_{1,0})$$

⋮

$$w_{m-1,1} = \left(1 - \frac{2\alpha^2 k}{h^2}\right) w_{m-1,0} + \alpha^2 \frac{k}{h^2} (w_{m,0} + w_{m-2,0})$$

$$w_{m,1} = u(m, t_1) = 0$$

接著我們就可以用  $w_{i,1}$  的值以產生  $w_{i,2}$  並重複下去。

由此差分法的外顯特性可知，此方程組的  $(m-1) \times (m-1)$  矩陣為三對角線型式

$$A = \begin{bmatrix} (1-2\lambda) & \lambda & 0 & \cdots & 0 \\ \lambda & (1-2\lambda) & \lambda & \ddots & \vdots \\ 0 & \ddots & \ddots & \ddots & 0 \\ \vdots & \ddots & \ddots & \ddots & \lambda \\ 0 & \cdots & 0 & \lambda & (1-2\lambda) \end{bmatrix}$$

其中  $\lambda = \alpha^2(k/h^2)$ 。如果我們令

$$\mathbf{w}^{(0)} = (f(x_1), f(x_2), \dots, f(x_{m-1}))^t$$

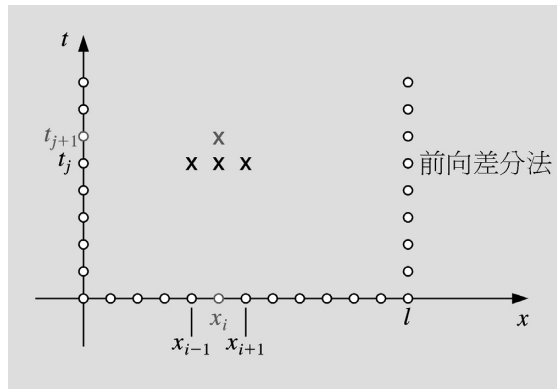
且

$$\mathbf{w}^{(j)} = (w_{1j}, w_{2j}, \dots, w_{m-1,j})^t, \quad j = 1, 2, \dots$$

則近似解為

$$\mathbf{w}^{(j)} = A\mathbf{w}^{(j-1)}, \quad j = 1, 2, \dots$$

所以只須簡單的矩陣乘法，就可由  $\mathbf{w}^{(j-1)}$  求得  $\mathbf{w}^{(j)}$ 。這種方法叫做**前向差分法** (Forward-Difference method)，圖 12.8 顯示了，求圖中淺色點之近似解時所會用到的點。如果偏微分方程的解對  $x$  的四階偏導數，以及對  $t$  的二階偏導數都為連續，則由 (12.10) 式可知此方法的精度為  $O(k + h^2)$ 。



| 圖 12.8

**例題 1** 使用步距 (a)  $h = 0.1$  和  $k = 0.0005$  及 (b)  $h = 0.1$  和  $k = 0.01$ ，求熱傳方程式

$$\frac{\partial u}{\partial t}(x, t) - \frac{\partial^2 u}{\partial x^2}(x, t) = 0, \quad 0 < x < 1, \quad 0 \leq t$$

之近似解，其邊界條件為

$$u(0, t) = u(1, t) = 0, \quad 0 < t$$

初始條件為

$$u(x, 0) = \sin(\pi x), \quad 0 \leq x \leq 1$$

將  $t = 0.5$  的計算結果與確解

$$u(x, t) = e^{-\pi^2 t} \sin(\pi x)$$

做比較。

- 解** (a) 以前向差分法用  $h = 0.1$ 、 $k = 0.0005$  及  $\lambda = (1)^2(0.0005/(0.1)^2) = 0.05$ ，所得結果列於表 12.3 的第 3 行。由第 4 行的誤差值可看出，此結果相當準確。  
 (b) 以前向差分法用  $h = 0.1$ 、 $k = 0.01$  及  $\lambda = (1)^2(0.01/(0.1)^2) = 1$ ，所得結果列於表 12.3 的第 5 行，由第 6 行可看出，此結果毫無意義。 ■

表 12.3

$x_i$	$u(x_i, 0.5)$	$\frac{w_{i,1000}}{k = 0.0005}$	$ u(x_i, 0.5) - w_{i,1000} $	$\frac{w_{i,50}}{k = 0.01}$	$ u(x_i, 0.5) - w_{i,50} $
0.0	0	0	0	0	0
0.1	0.00222241	0.00228652	$6.411 \times 10^{-5}$	$8.19876 \times 10^7$	$8.199 \times 10^7$
0.2	0.00422728	0.00434922	$1.219 \times 10^{-4}$	$-1.55719 \times 10^8$	$1.557 \times 10^8$
0.3	0.00581836	0.00598619	$1.678 \times 10^{-4}$	$2.13833 \times 10^8$	$2.138 \times 10^8$
0.4	0.00683989	0.00703719	$1.973 \times 10^{-4}$	$-2.50642 \times 10^8$	$2.506 \times 10^8$
0.5	0.00719188	0.00739934	$2.075 \times 10^{-4}$	$2.62685 \times 10^8$	$2.627 \times 10^8$
0.6	0.00683989	0.00703719	$1.973 \times 10^{-4}$	$-2.49015 \times 10^8$	$2.490 \times 10^8$
0.7	0.00581836	0.00598619	$1.678 \times 10^{-4}$	$2.11200 \times 10^8$	$2.112 \times 10^8$
0.8	0.00422728	0.00434922	$1.219 \times 10^{-4}$	$-1.53086 \times 10^8$	$1.531 \times 10^8$
0.9	0.00222241	0.00228652	$6.511 \times 10^{-5}$	$8.03604 \times 10^7$	$8.036 \times 10^7$
1.0	0	0	0	0	0

## ■ 穩定性問題

在例題 1 中，我們預期截尾誤差為  $O(k + h^2)$ 。在使用  $h = 0.1$  及  $k = 0.0005$  時確實如此，但在  $h = 0.1$  及  $k = 0.01$  時就不對了。要了解問題所在，我們須要檢視一下前向差分法的穩定性。

如果在初始條件

$$\mathbf{w}^{(0)} = (f(x_1), f(x_2), \dots, f(x_{m-1}))^t$$

中含有誤差  $\mathbf{e}^{(0)} = (e_1^{(0)}, e_2^{(0)}, \dots, e_{m-1}^{(0)})^t$  (用初始條件只是為了方便說明，可以是任一個時間步進)，傳遞到  $\mathbf{w}^{(1)}$  的誤差為  $A\mathbf{e}^{(0)}$ ，因為

$$\mathbf{w}^{(1)} = A \mathbf{w}^{(0)} + \mathbf{e}^{(0)} = A\mathbf{w}^{(0)} + A\mathbf{e}^{(0)}$$

此程序一再重複。在第  $n$  個時間步進時， $\mathbf{e}^{(0)}$  對  $\mathbf{w}^{(n)}$  所造成的誤差為  $A^n\mathbf{e}^{(0)}$ 。這個方法要穩定，則此一誤差不能隨著  $n$  的增加而變大。所以對任何的初始誤差  $\mathbf{e}^{(0)}$ ，對所有的  $n$  都要有  $\|A^n\mathbf{e}^{(0)}\| \leq \|\mathbf{e}^{(0)}\|$ 。因此，必須要  $\|A^n\| \leq 1$ ，由定理 7.15 得知，也就是要  $\rho(A^n) = (\rho(A))^n \leq 1$ 。所以只有在  $\rho(A) \leq 1$  時，前向差分法為穩定。

可以求得  $A$  的特徵值 (見習題 13) 為

$$\mu_i = 1 - 4\lambda \left( \sin \left( \frac{i\pi}{2m} \right) \right)^2, \quad i = 1, 2, \dots, m-1$$

所以穩定的條件簡化為是否滿足

$$\rho(A) = \max_{1 \leq i \leq m-1} \left| 1 - 4\lambda \left( \sin \left( \frac{i\pi}{2m} \right) \right)^2 \right| \leq 1$$

可再簡化為

$$0 \leq \lambda \left( \sin \left( \frac{i\pi}{2m} \right) \right)^2 \leq \frac{1}{2}, \quad i = 1, 2, \dots, m-1$$

要達到穩定的要求，此不等式在  $h \rightarrow 0$  時必須成立，或由另一個角度看是  $m \rightarrow \infty$ ，而由

$$\lim_{m \rightarrow \infty} \left[ \sin \left( \frac{(m-1)\pi}{2m} \right) \right]^2 = 1$$

的事實可得，穩定的條件為  $0 \leq \lambda \leq \frac{1}{2}$ 。

由定義  $\lambda = \alpha^2(k/h^2)$ ，所以由此不等式知， $h$  和  $k$  必須滿足

$$\alpha^2 \frac{k}{h^2} \leq \frac{1}{2}$$

在例題 1 中  $\alpha^2 = 1$ ，所以  $h=0.1$  及  $k=0.0005$  時滿足此一條件。但是當  $k$  增加為 0.01 却沒有相對的增加  $h$ ，其比值成為

$$\frac{0.01}{(0.1)^2} = 1 > \frac{1}{2}$$

也就出現了立即且劇烈的穩定問題。

與第 5 章所用的名詞一致，前向差分法為條件穩定 (conditionally stable) 且其收斂到 (12.6) 式的收斂速率為  $O(k + h^2)$ ，前提為

$$\alpha^2 \frac{k}{h^2} \leq \frac{1}{2}$$

且其解滿足必要的連續條件。(更詳細的證明可參見 [IK, pp. 502-505]。)

## ■ 後向差分法

要得到無條件穩定 (unconditionally stable) 的方法，我們考慮一種隱式差分法 (implicit-difference)，對  $(\partial u / \partial t)(x_i, t_j)$  使用後向差分式，其型式為

$$\frac{\partial u}{\partial t}(x_i, t_j) = \frac{u(x_i, t_j) - u(x_i, t_{j-1})}{k} + \frac{k}{2} \frac{\partial^2 u}{\partial t^2}(x_i, \mu_j)$$

其中  $\mu_j$  在  $(t_{j-1}, t_j)$  之間。將此公式，以及 (12.8) 式的  $\partial^2 u / \partial x^2$ ，代入偏微分方程得

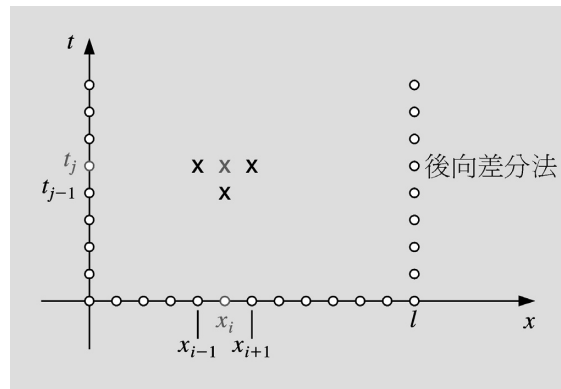
$$\begin{aligned} & \frac{u(x_i, t_j) - u(x_i, t_{j-1})}{k} - \alpha^2 \frac{u(x_{i+1}, t_j) - 2u(x_i, t_j) + u(x_{i-1}, t_j)}{h^2} \\ &= -\frac{k}{2} \frac{\partial^2 u}{\partial t^2}(x_i, \mu_j) - \alpha^2 \frac{h^2}{12} \frac{\partial^4 u}{\partial x^4}(\xi_i, t_j) \end{aligned}$$

其中  $\xi_i \in (x_{i-1}, x_{i+1})$ 。由此得後向差分法 (Backward-Difference method)

$$\frac{w_{ij} - w_{ij-1}}{k} - \alpha^2 \frac{w_{i+1,j} - 2w_{ij} + w_{i-1,j}}{h^2} = 0 \quad (12.12)$$

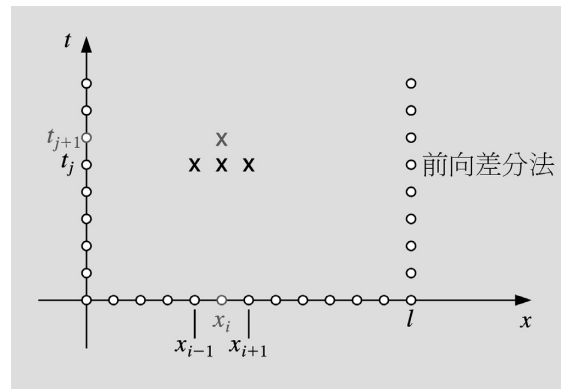
其中  $i = 1, 2, \dots, m-1$  且  $j = 1, 2, \dots$ 。

後向差分法，在每一個時間步進求點  $(x_i, t_j)$  上的近似解時，會用到格點  $(x_i, t_{j-1})$ 、 $(x_{i-1}, t_j)$  及  $(x_{i+1}, t_j)$ ，如圖 12.9 所示。



| 圖 12.9

在此問題中，標示圓圈的點是由初始條件與邊界條件所決定，由圖可看出，無法用顯式法求解 (12.12) 式。但對於前向差分法 (見圖 12.10)，我們用到格點  $(x_{i-1}, t_{j-1})$ 、 $(x_i, t_{j-1})$  及  $(x_{i+1}, t_{j-1})$  的近似解以求出  $(x_i, t_j)$  的近似解。所以可利用初始與邊界條件，以顯式法求解。



| 圖 12.10

如果同樣令  $\lambda$  代表  $\alpha^2(k/h^2)$ ，後向差分法可寫成

$$(1 + 2\lambda)w_{ij} - \lambda w_{i+1,j} - \lambda w_{i-1,j} = w_{ij-1}$$

其中  $i = 1, 2, \dots, m-1$  且  $j = 1, 2, \dots$ 。因為已知在每個  $i = 1, 2, \dots, m-1$ ， $w_{i,0} = f(x_i)$ ，

且在  $j = 1, 2, \dots$  時  $w_{m,j} = w_{0,j} = 0$ ，故差分法的矩阵型式可寫成

$$\begin{bmatrix} (1+2\lambda) & -\lambda & 0 & \cdots & 0 \\ -\lambda & (1+2\lambda) & -\lambda & \cdots & 0 \\ 0 & -\lambda & (1+2\lambda) & \cdots & 0 \\ \vdots & \vdots & \vdots & \ddots & \vdots \\ 0 & 0 & 0 & \cdots & (1+2\lambda) \end{bmatrix} \begin{bmatrix} w_{1,j} \\ w_{2,j} \\ \vdots \\ w_{m-1,j} \end{bmatrix} = \begin{bmatrix} w_{1,j-1} \\ w_{2,j-1} \\ \vdots \\ w_{m-1,j-1} \end{bmatrix} \quad (12.13)$$

或  $A\mathbf{w}^{(j)} = \mathbf{w}^{(j-1)}$ ,  $i = 1, 2, \dots$ 。

因此我們要由  $\mathbf{w}^{(j-1)}$  求  $\mathbf{w}^{(j)}$ ，必須解線性方程組。因為  $\lambda > 0$ ，所以矩陣  $A$  為正定且完全對角線主導 (strictly diagonally dominant)，同時為三對角線矩陣。我們可以用 Crout 因式分解算則 6.7 或 SOR 算則 7.3 求解此方程組。算則 12.2 則採用 Crout 因式分解法求解 (12.13) 式，當  $m$  不很大時，這是可行的方法。在此算則中，我們設定  $t$  的上限，以做為程式終止的條件。

### 算則 12.2 热傳方程式後向差分法 (Heat Equation Backward-Difference)

求拋物線型偏微分方程

$$\frac{\partial u}{\partial t}(x, t) - \alpha^2 \frac{\partial^2 u}{\partial x^2}(x, t) = 0, \quad 0 < x < l, \quad 0 < t < T$$

的近似解，已知邊界條件

$$u(0, t) = u(l, t) = 0, \quad 0 < t < T$$

及初始條件

$$u(x, 0) = f(x), \quad 0 \leq x \leq l$$

**INPUT** 端點  $l$ ；最大時間  $T$ ；常數  $\alpha$ ；整數  $m \geq 3$  及  $N \geq 1$ 。

**OUTPUT**  $u(x_i, t_j)$  在每個  $i = 1, \dots, m-1$  及  $j = 1, \dots, N$  的近似值  $w_{i,j}$ 。

**Step 1** Set  $h = l/m$ ;

$$k = T/N;$$

$$\lambda = \alpha^2 k / h^2.$$

**Step 2** For  $i = 1, \dots, m-1$  set  $w_i = f(ih)$ . (初始值)

(Steps 3-11 用算則 6.7 解三對角線線性方程組)

**Step 3** Set  $l_1 = 1 + 2\lambda$ ;

$$u_1 = -\lambda/l_1.$$

**Step 4** For  $i = 2, \dots, m-2$  set  $l_i = 1 + 2\lambda + \lambda u_{i-1}$ ;

$$u_i = -\lambda/l_i.$$

**Step 5** Set  $l_{m-1} = 1 + 2\lambda + \lambda u_{m-2}$ .

**Step 6** For  $j = 1, \dots, N$  do Steps 7-11.

**Step 7** Set  $t = jk$ ; (目前的  $t_j$ )

$$z_1 = w_1/l_1.$$

**Step 8** For  $i = 2, \dots, m - 1$  set  $z_i = (w_i + \lambda z_{i-1})/l_i$ .

**Step 9** Set  $w_{m-1} = z_{m-1}$ .

**Step 10** For  $i = m - 2, \dots, 1$  set  $w_i = z_i - u_i w_{i+1}$ .

**Step 11** OUTPUT ( $t$ ); (註 :  $t = t_j$ )

For  $i = 1, \dots, m - 1$  set  $x = ih$ ;

OUTPUT ( $x, w_i$ ). (註 :  $w_i = w_{i,j}$ )

**Step 12** STOP. (程序完成)

**例題 2** 使用後向差分法(算則 12.2)及  $h = 0.1$  和  $k = 0.01$  求例題 1 之熱傳方程式

$$\frac{\partial u}{\partial t}(x, t) - \frac{\partial^2 u}{\partial x^2}(x, t) = 0, \quad 0 < x < 1, \quad 0 < t$$

的近似解，給定條件

$$u(0, t) = u(1, t) = 0, \quad 0 < t, \quad u(x, 0) = \sin \pi x, \quad 0 \leq x \leq 1$$

**解** 在例題 1 中，我們用  $h = 0.1$  和  $k = 0.0005$  獲得相當準確的近似解。但使用本例中的  $h = 0.1$  和  $k = 0.01$  時，結果很差。為說明後向差分法的無條件穩定性，我們在此使用  $h = 0.1$  和  $k = 0.01$ ，並再次比較  $w_{i,50}$  及  $u(x_i, 0.5)$ ，其中  $i = 0, 1, \dots, 10$ 。

計算結果列於表 12.4，表中所用的  $h$  及  $k$  的值，與表 12.3 的第 5 及第 6 行所用的一樣，由此可看出此方法的穩定性。

|表 12.4

$x_i$	$w_{i,50}$	$u(x_i, 0.5)$	$ w_{i,50} - u(x_i, 0.5) $
0.0	0	0	
0.1	0.00289802	0.00222241	$6.756 \times 10^{-4}$
0.2	0.00551236	0.00422728	$1.285 \times 10^{-3}$
0.3	0.00758711	0.00581836	$1.769 \times 10^{-3}$
0.4	0.00891918	0.00683989	$2.079 \times 10^{-3}$
0.5	0.00937818	0.00719188	$2.186 \times 10^{-3}$
0.6	0.00891918	0.00683989	$2.079 \times 10^{-3}$
0.7	0.00758711	0.00581836	$1.769 \times 10^{-3}$
0.8	0.00551236	0.00422728	$1.285 \times 10^{-3}$
0.9	0.00289802	0.00222241	$6.756 \times 10^{-4}$
1.0	0	0	

經由分析矩陣  $A$  的特徵值，可看出為何後向差分法沒有穩定的問題，但前向差分法卻有。後向差分法的特徵值為(見習題 14)

$$\mu_i = 1 + 4\lambda \left[ \sin \left( \frac{i\pi}{2m} \right) \right]^2, \quad i = 1, 2, \dots, m-1$$

因為  $\lambda > 0$ ，所以對所有的  $i = 1, 2, \dots, m-1$ ，我們有  $\mu_i > 1$ 。因為  $A^{-1}$  的特徵值是  $A$  的特徵值的倒數，所以  $A^{-1}$  的頻譜半徑  $\rho(A^{-1}) < 1$ 。這代表  $A^{-1}$  是收斂矩陣。

在後向差分法中，初始值中的誤差  $\mathbf{e}^{(0)}$ ，在  $n$  次時間步進後造成的誤差為  $(A^{-1})^n \mathbf{e}^{(0)}$ 。因為  $A^{-1}$  是收斂矩陣，

$$\lim_{n \rightarrow \infty} (A^{-1})^n \mathbf{e}^{(0)} = \mathbf{0}$$

所以使用任何的  $\lambda = \alpha^2(k/h^2)$ ，此方法均為穩定。依據第 5 章所用的名辭，我們將後向差分法叫做**無條件穩定法** (unconditionally stable method)。其局部截尾誤差為  $O(k + h^2)$ ，當然其前提為此微分方程的解滿足一般的可微條件。在此情形下，此方法以同樣的收斂速率收斂到微分方程的解（見 [IK]，p. 508）。

後向差分法有一個缺點，它的局部截尾誤差中包含了  $O(h^2)$  和  $O(k)$  的兩部分。所以使用的時間間距必須比空間間隔小很多。能有一種局部截尾誤差為  $O(k^2 + h^2)$  的方法當然比較好。建立這種方法的第一步，使用誤差為  $O(k^2)$  的差分公式來代表  $u_t(x, t)$ ，而不再用之前  $O(k)$  的差分公式。我們可以將函數  $u(x, t)$  在點  $(x_i, t_j)$  對  $t$  用泰勒級數展開，然後利用  $(x_i, t_{j+1})$  和  $(x_i, t_{j-1})$  的級數以獲得中央差分公式

$$\frac{\partial u}{\partial t}(x_i, t_j) = \frac{u(x_i, t_{j+1}) - u(x_i, t_{j-1})}{2k} + \frac{k^2}{6} \frac{\partial^3 u}{\partial t^3}(x_i, \mu_j)$$

其中  $\mu_j \in (t_{j-1}, t_{j+1})$ 。將上式以及通常用於  $(\partial^2 u / \partial x^2)$  的差分式，(12.8) 式，代入微分方程可得**理察生法** (Richardson's method)

$$\frac{w_{ij+1} - w_{ij-1}}{2k} - \alpha^2 \frac{w_{i+1,j} - 2w_{ij} + w_{i-1,j}}{h^2} = 0 \quad (12.14)$$

此方法的局部截尾誤差為  $O(k^2 + h^2)$ ，但很不幸的，和前向差分法一樣，它有嚴重的穩定性問題（見習題 11 及 12）。

## ■ Crank-Nicolson 法

另一種實際可行的方法是將兩種差分公式加以平均，考慮在  $t$  為第  $j$  步的前向差分法

$$\frac{w_{ij+1} - w_{ij}}{k} - \alpha^2 \frac{w_{i+1,j} - 2w_{ij} + w_{i-1,j}}{h^2} = 0$$

其局部截尾誤差為

$$\tau_F = \frac{k}{2} \frac{\partial^2 u}{\partial t^2}(x_i, \mu_j) + O(h^2)$$

以及第  $(j+1)$  步的後向差分法

$$\frac{w_{i,j+1} - w_{i,j}}{k} - \alpha^2 \frac{w_{i+1,j+1} - 2w_{i,j+1} + w_{i-1,j+1}}{h^2} = 0$$

其局部截尾誤差為

$$\tau_B = -\frac{k}{2} \frac{\partial^2 u}{\partial t^2}(x_i, \hat{\mu}_j) + O(h^2)$$

如果我們假設

$$\frac{\partial^2 u}{\partial t^2}(x_i, \hat{\mu}_j) \approx \frac{\partial^2 u}{\partial t^2}(x_i, \mu_j)$$

則平均後之差分法為

$$\frac{w_{i,j+1} - w_{i,j}}{k} - \frac{\alpha^2}{2} \left[ \frac{w_{i+1,j} - 2w_{i,j} + w_{i-1,j}}{h^2} + \frac{w_{i+1,j+1} - 2w_{i,j+1} + w_{i-1,j+1}}{h^2} \right] = 0$$

其局部截尾誤差為  $O(k^2 + h^2)$ ，前提當然也是要滿足一般的可微條件。

此方法叫做 **Crank-Nicolson 法**，其矩陣型式可寫成

$$Aw^{(j+1)} = Bw^{(j)}, \quad j = 0, 1, 2, \dots \quad (12.15)$$

其中

$$\frac{w_{i,j+1} - w_{i,j}}{k} - \frac{\alpha^2}{2} \left[ \frac{w_{i+1,j} - 2w_{i,j} + w_{i-1,j}}{h^2} + \frac{w_{i+1,j+1} - 2w_{i,j+1} + w_{i-1,j+1}}{h^2} \right] = 0$$

且矩陣  $A$  及  $B$  為：

$$A = \begin{bmatrix} (1+\lambda) & -\frac{\lambda}{2} & 0 & \cdots & 0 \\ -\frac{\lambda}{2} & (1-\lambda) & -\frac{\lambda}{2} & \cdots & 0 \\ 0 & \ddots & \ddots & \ddots & \vdots \\ \vdots & & \ddots & \ddots & -\frac{\lambda}{2} \\ 0 & \cdots & 0 & -\frac{\lambda}{2} & (1+\lambda) \end{bmatrix}$$

及

$$B = \begin{bmatrix} (1-\lambda) & \frac{\lambda}{2} & 0 & \cdots & 0 \\ \frac{\lambda}{2} & (1+\lambda) & -\frac{\lambda}{2} & \cdots & 0 \\ 0 & \ddots & \ddots & \ddots & \vdots \\ \vdots & & \ddots & \ddots & \frac{\lambda}{2} \\ 0 & \cdots & 0 & \frac{\lambda}{2} & (1-\lambda) \end{bmatrix}$$

非奇異矩陣  $A$  為正定、完全對角線主導及三對角線。所以對  $j = 0, 1, 2, \dots$ ，要由  $w^{(j-1)}$  求  $w^{(j)}$ ，可以用 Crout 因式分解算則 6.7 或 SOR 算則 7.3。算則 12.3 則將 Crout 因式分解與 Crank-Nicolson 法結合。與算則 12.2 一樣，必須指定一個時間長度，以終止計算。Crank-Nicolson 法為無條件穩定，且收斂速率為  $O(k^2 + h^2)$ ，其證明可參見 [IK], pp. 508-512。圖 12.11 顯示了，求  $(x_i, t_j)$  之近似解時所會用到的格點。

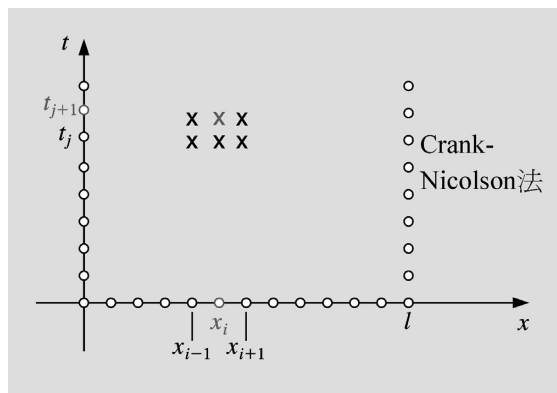


圖 12.11

**算則 12.3 Crank-Nicolson**

求拋物線型偏微分方程

$$\frac{\partial u}{\partial t}(x, t) - \alpha^2 \frac{\partial^2 u}{\partial x^2}(x, t) = 0, \quad 0 < x < l, \quad 0 < t < T$$

的近似解，已知邊界條件

$$u(0, t) = u(l, t) = 0, \quad 0 < t < T$$

及初始條件

$$u(x, 0) = f(x), \quad 0 \leq x \leq l$$

**INPUT** 端點  $l$ ；最大時間  $T$ ；常數  $\alpha$ ；整數  $m \geq 3$  及  $N \geq 1$ 。**OUTPUT**  $u(x_i, t_j)$  在每個  $i = 1, \dots, m-1$  及  $j = 1, \dots, N$  的近似值  $w_{ij}$ 。**Step 1** Set  $h = l/m$ ;

$$k = T/N;$$

$$\lambda = \alpha^2 k / h^2;$$

$$w_m = 0.$$

**Step 2** For  $i = 1, \dots, m-1$  set  $w_i = f(ih)$ . (初始值)

(Steps 3-11 用算則 6.7 解三對角線線性方程組)

**Step 3** Set  $l_1 = 1 + \lambda$ ;

$$u_1 = -\lambda / (2l_1).$$

**Step 4** For  $i = 2, \dots, m-2$  set  $l_i = 1 + \lambda + \lambda u_{i-1}/2$ ;

$$u_i = -\lambda / (2l_i).$$

**Step 5** Set  $l_{m-1} = 1 + \lambda + \lambda u_{m-2}/2$ .**Step 6** For  $j = 1, \dots, N$  do Steps 7-11.**Step 7** Set  $t = jk$ ; (目前的  $t_j$ )

$$z_1 = \left[ (1 - \lambda)w_1 + \frac{\lambda}{2}w_2 \right] / l_1.$$

**Step 8** For  $i = 2, \dots, m - 1$  set

$$z_i = \left[ (1 - \lambda)w_i + \frac{\lambda}{2}(w_{i+1} + w_{i-1} + z_{i-1}) \right] / l_i.$$

**Step 9** Set  $w_{m-1} = z_{m-1}$ .

**Step 10** For  $i = m - 2, \dots, 1$  set  $w_i = z_i - u_i w_{i+1}$ .

**Step 11** OUTPUT ( $t$ ); (註 :  $t = t_j$ )

For  $i = 1, \dots, m - 1$  set  $x = ih$ ;

OUTPUT ( $x, w_i$ ). (註 :  $w_i = w_{ij}$ )

**Step 12** STOP. (程序完成)

■

**例題 3** 用 Crank-Nicolson 法及  $h = 0.1$ 、 $k = 0.01$  求

$$\frac{\partial u}{\partial t}(x, t) - \frac{\partial^2 u}{\partial x^2}(x, t) = 0, \quad 0 < x < 1 \quad 0 < t$$

之近似解，給定條件為

$$u(0, t) = u(1, t) = 0, \quad 0 < t$$

及

$$u(x, 0) = \sin(\pi x), \quad 0 \leq x \leq 1$$

**解** 選取  $h = 0.1$  和  $k = 0.01$ ，在算則 12.3 中可得  $m = 10$ 、 $N = 50$  及  $\lambda = 1$ 。回顧一下，使用此處的  $h$  和  $k$  時，前向差分法結果很差，而後向差分法在表的中段部分準確到約  $2 \times 10^{-3}$ 。表 12.5 列出 Crank-Nicolson 法的結果，它的準確度更優於後向差分法。 ■

|表 12.5

$x_i$	$w_{i,50}$	$u(x_i, 0.5)$	$ w_{i,50} - u(x_i, 0.5) $
0.0	0	0	
0.1	0.00230512	0.00222241	$8.271 \times 10^{-5}$
0.2	0.00438461	0.00422728	$1.573 \times 10^{-4}$
0.3	0.00603489	0.00581836	$2.165 \times 10^{-4}$
0.4	0.00709444	0.00683989	$2.546 \times 10^{-4}$
0.5	0.00745954	0.00719188	$2.677 \times 10^{-4}$
0.6	0.00709444	0.00683989	$2.546 \times 10^{-4}$
0.7	0.00603489	0.00581836	$2.165 \times 10^{-4}$
0.8	0.00438461	0.00422728	$1.573 \times 10^{-4}$
0.9	0.00230512	0.00222241	$8.271 \times 10^{-5}$
1.0	0	0	

## 習題組 12.2 完整習題請見隨書光碟

1. 用後向差分法求以下偏微分方程的近似解。

$$\frac{\partial u}{\partial t} - \frac{\partial^2 u}{\partial x^2} = 0, \quad 0 < x < 2, \quad 0 < t$$

$$u(0, t) = u(2, t) = 0, \quad 0 < t, \quad u(x, 0) = \sin \frac{\pi}{2}x, \quad 0 \leq x \leq 2$$

使用  $m = 4$ 、 $T = 0.1$  及  $N = 2$ ，將結果與確解  $u(x, t) = e^{-(\pi^2/4)t} \sin \frac{\pi}{2}x$  做比較。

2. 用後向差分法求以下偏微分方程的近似解。

$$\frac{\partial u}{\partial t} - \frac{1}{16} \frac{\partial^2 u}{\partial x^2} = 0, \quad 0 < x < 1, \quad 0 < t$$

$$u(0, t) = u(1, t) = 0, \quad 0 < t, \quad u(x, 0) = 2 \sin 2\pi x, \quad 0 \leq x \leq 1$$

使用  $m = 3$ 、 $T = 0.1$  及  $N = 2$ ，將結果與確解  $u(x, t) = 2e^{-(\pi^2/4)t} \sin 2\pi x$  做比較。

3. 用 Crank-Nicolson 算則重做習題 1。

4. 用 Crank-Nicolson 算則重做習題 2。

5. 用前向差分法求下列拋物線型偏微分方程之近似解。

a.  $\frac{\partial u}{\partial t} - \frac{\partial^2 u}{\partial x^2} = 0, \quad 0 < x < 2, \quad 0 < t$

$$u(0, t) = u(2, t) = 0, \quad 0 < t$$

$$u(x, 0) = \sin 2\pi x, \quad 0 \leq x \leq 2$$

用  $h = 0.4$  及  $k = 0.1$ ，將  $t = 0.5$  的結果與確解  $u(x, t) = e^{-4\pi^2 t} \sin 2\pi x$  做比較。再用  $h = 0.4$  及  $k = 0.05$ ，並再次比較結果。

b.  $\frac{\partial u}{\partial t} - \frac{\partial^2 u}{\partial x^2} = 0, \quad 0 < x < \pi, \quad 0 < t$

$$u(0, t) = u(\pi, t) = 0, \quad 0 < t$$

$$u(x, 0) = \sin x, \quad 0 \leq x \leq \pi$$

用  $h = \pi/10$  及  $k = 0.05$ ，將  $t = 0.5$  的結果與確解  $u(x, t) = e^{-t} \sin x$  做比較。

6. 用前向差分法求下列拋物線型偏微分方程之近似解。

a.  $\frac{\partial u}{\partial t} - \frac{4}{\pi^2} \frac{\partial^2 u}{\partial x^2} = 0, \quad 0 < x < 4, \quad 0 < t$

$$u(0, t) = u(4, t) = 0, \quad 0 < t$$

$$u(x, 0) = \sin \frac{\pi}{4}x (1 + 2 \cos \frac{\pi}{4}x), \quad 0 \leq x \leq 4$$

用  $h = 0.2$  及  $k = 0.04$ ，將  $t = 0.4$  的結果與確解  $u(x, t) = e^{-t} \sin \frac{\pi}{2}x + e^{-t/4} \sin \frac{\pi}{4}x$  做比較。

b.  $\frac{\partial u}{\partial t} - \frac{1}{\pi^2} \frac{\partial^2 u}{\partial x^2} = 0, \quad 0 < x < 1, \quad 0 < t$

$$u(0, t) = u(1, t) = 0, \quad 0 < t$$

$$u(x, 0) = \cos \pi (x - \frac{1}{2}), \quad 0 \leq x \leq 1$$

用  $h = 0.1$  及  $k = 0.04$ ，將  $t = 0.4$  的結果與確解  $u(x, t) = e^{-t} \cos \pi (x - \frac{1}{2})$  做比較。

7. 用後向差分算則重做習題 5。
8. 用後向差分算則重做習題 6。
9. 用 Crank-Nicolson 算則重做習題 5。
10. 用 Crank-Nicolson 算則重做習題 6。
11. 用理察生法重做習題 5。
12. 用理察生法重做習題 6。
13.  $(m - 1)$  乘  $(m - 1)$  的三對角線矩陣  $A$  定義為

$$a_{ij} = \begin{cases} \lambda, & j = i - 1 \text{ 或 } j = i + 1, \\ 1 - 2\lambda, & j = i, \\ 0, & \text{其他} \end{cases}$$

證明其特徵值為

$$\mu_i = 1 - 4\lambda \left( \sin \frac{i\pi}{2m} \right)^2, \quad i = 1, 2, \dots, m - 1$$

且有相對之特徵向量  $\mathbf{v}^{(i)}$ ，其中  $v_j^{(i)} = \sin(ij\pi/m)$ 。

14.  $(m - 1)$  乘  $(m - 1)$  的三對角線矩陣  $A$  定義為

$$a_{ij} = \begin{cases} -\lambda, & j = i - 1 \text{ 或 } j = i + 1, \\ 1 + 2\lambda, & j = i, \\ 0, & \text{其他} \end{cases}$$

其中  $\lambda > 0$ ，證明其為正定且完全對角線主導，並證明其特徵值為

$$\mu_i = 1 + 4\lambda \left( \sin \frac{i\pi}{2m} \right)^2, \quad i = 1, 2, \dots, m - 1$$

且有相對之特徵向量  $\mathbf{v}^{(i)}$ ，其中  $v_j^{(i)} = \sin(ij\pi/m)$ 。

15. 修改算則 12.2 及 12.3 使能適用於拋物線型偏微分方程

$$\frac{\partial u}{\partial t} - \frac{\partial^2 u}{\partial x^2} = F(x), \quad 0 < x < l, 0 < t$$

$$u(0, t) = u(l, t) = 0, \quad 0 < t$$

$$u(x, 0) = f(x), \quad 0 \leq x \leq l$$

16. 用習題 15 的結果，求

$$\frac{\partial u}{\partial t} - \frac{\partial^2 u}{\partial x^2} = 2, \quad 0 < x < 1, 0 < t$$

$$u(0, t) = u(1, t) = 0, \quad 0 < t$$

$$u(x, 0) = \sin \pi x + x(1 - x)$$

之近似解，使用  $h = 0.1$  及  $k = 0.01$ 。將  $t = 0.25$  時的結果與確解  $u(x, t) = e^{-\pi^2 t} \sin \pi x + x(1 - x)$  做比較。

17. 修改算則 12.2 及 12.3，使能適用於偏微分方程

$$\begin{aligned}\frac{\partial u}{\partial t} - \alpha^2 \frac{\partial^2 u}{\partial x^2} &= 0, \quad 0 < x < l, 0 < t \\ u(0, t) &= \phi(t), \quad u(l, t) = \Psi(t), \quad 0 < t \\ u(x, 0) &= f(x), \quad 0 \leq x \leq l\end{aligned}$$

其中  $f(0) = \phi(0)$  且  $f(l) = \Psi(0)$ 。

18. 對一根固定截面積的長薄桿，若其材料具均質導熱性，則其溫度分布  $u(x, t)$  滿足一維熱傳方程式。假設經由電阻或核反應，材料中會產生熱，則熱傳方程式為

$$\frac{\partial^2 u}{\partial x^2} + \frac{K r}{\rho C} = K \frac{\partial u}{\partial t}, \quad 0 < x < l, \quad 0 < t$$

其中  $l$  為長度、 $\rho$  為密度、 $C$  為比熱值、且  $K$  為熱擴散係數。函數  $r = r(x, t, u)$  代表每單位體積產生的熱。設定

$$l = 1.5 \text{ cm}, \quad K = 1.04 \text{ cal/cm} \cdot \text{deg} \cdot \text{s}, \quad \rho = 10.6 \text{ g/cm}^3, \quad C = 0.056 \text{ cal/g} \cdot \text{deg}$$

及

$$r(x, t, u) = 5.0 \text{ cal/cm}^3 \cdot \text{s}$$

若 2 端點溫度維持在  $0^\circ\text{C}$ ，則

$$u(0, t) = u(l, t) = 0, \quad t > 0$$

設初始溫度分布為

$$u(x, 0) = \sin \frac{\pi x}{l}, \quad 0 \leq x \leq l$$

用習題 15 的結果求溫度分布的近似解，給定  $h = 0.15$  及  $k = 0.0225$ 。

19. Sagar 和 Payne [SP] 分析反覆加熱及冷卻之圓柱體之材料特性與應力—應變關係，他們使用方程式

$$\frac{\partial^2 T}{\partial r^2} + \frac{1}{r} \frac{\partial T}{\partial r} = \frac{1}{4K} \frac{\partial T}{\partial t}, \quad \frac{1}{2} < r < 1, 0 < t$$

其中  $T = T(r, t)$  為溫度， $r$  為由圓柱中心算起的徑向距離， $t$  為時間，且  $K$  為擴散係數。

- a. 求  $T(r, 10)$  的近似解，已知圓柱外徑為 1，初始及邊界條件為：

$$T(1, t) = 100 + 40t, \quad T\left(\frac{1}{2}, t\right) = t, \quad 0 \leq t \leq 10$$

$$T(r, 0) = 200(r - 0.5), \quad 0.5 \leq r \leq 1.$$

使用修改過之後向差分法，給定  $K = 0.1$ 、 $k = 0.5$  及  $h = \Delta r = 0.1$ 。

- b. 用 (a) 所得的溫度分布，求積分

$$I = \int_{0.5}^1 \alpha T(r, t) r \, dr$$

的近似解，以得到應變  $I$  的近似值，其中  $\alpha = 10.7$  且  $t = 10$ 。使用  $n = 5$  的複合梯形法則。



## 12.3 雙曲線型偏微分方程

在本節中我們要考慮**波動方程式** (wave equation) 的數值解，這是一個雙曲線型偏微分方程。波動方程式為

$$\frac{\partial^2 u}{\partial t^2}(x, t) - \alpha^2 \frac{\partial^2 u}{\partial x^2}(x, t) = 0, \quad 0 < x < l, \quad t > 0 \quad (12.16)$$

其條件為

$$u(0, t) = u(l, t) = 0, \quad t > 0$$

$$u(x, 0) = f(x), \text{ 及 } \frac{\partial u}{\partial t}(x, 0) = g(x), \quad 0 \leq x \leq l$$

其中  $\alpha$  為常數，取決於此問題的物理條件。

選擇一個整數  $m > 0$ ，以  $h = l/m$  定義  $x$  軸的格點。另外再選取時間步距  $k > 0$ 。格點  $(x_i, t_j)$  定義為

$$x_i = ih \text{ 及 } t_j = jk$$

$i = 0, 1, \dots, m$  及  $j = 0, 1, \dots$

在每個內部格點  $(x_i, t_j)$  上，波動方程式可寫成

$$\frac{\partial^2 u}{\partial t^2}(x_i, t_j) - \alpha^2 \frac{\partial^2 u}{\partial x^2}(x_i, t_j) = 0 \quad (12.17)$$

用中央差分公式表示二次偏導數可得

$$\frac{\partial^2 u}{\partial t^2}(x_i, t_j) = \frac{u(x_i, t_{j+1}) - 2u(x_i, t_j) + u(x_i, t_{j-1})}{k^2} - \frac{k^2}{12} \frac{\partial^4 u}{\partial t^4}(x_i, \mu_j)$$

其中  $\mu_j \in (t_{j-1}, t_{j+1})$ ，及

$$\frac{\partial^2 u}{\partial x^2}(x_i, t_j) = \frac{u(x_{i+1}, t_j) - 2u(x_i, t_j) + u(x_{i-1}, t_j)}{h^2} - \frac{h^2}{12} \frac{\partial^4 u}{\partial x^4}(\xi_i, t_j)$$

其中  $\xi_i \in (x_{i-1}, x_{i+1})$ 。將以上 2 式代入 (12.17) 式可得

$$\begin{aligned} & \frac{u(x_i, t_{j+1}) - 2u(x_i, t_j) + u(x_i, t_{j-1})}{k^2} - \alpha^2 \frac{u(x_{i+1}, t_j) - 2u(x_i, t_j) + u(x_{i-1}, t_j)}{h^2} \\ &= \frac{1}{12} \left[ k^2 \frac{\partial^4 u}{\partial t^4}(x_i, \mu_j) - \alpha^2 h^2 \frac{\partial^4 u}{\partial x^4}(\xi_i, t_j) \right] \end{aligned}$$

去掉誤差項

$$\tau_{i,j} = \frac{1}{12} \left[ k^2 \frac{\partial^4 u}{\partial t^4}(x_i, \mu_j) - \alpha^2 h^2 \frac{\partial^4 u}{\partial x^4}(\xi_i, t_j) \right] \quad (12.18)$$

可得差分方程式

$$\frac{w_{i,j+1} - 2w_{i,j} + w_{i,j-1}}{k^2} - \alpha^2 \frac{w_{i+1,j} - 2w_{i,j} + w_{i-1,j}}{h^2} = 0$$

定義  $\lambda = \alpha k / h$ ，差分方程式可寫成

$$w_{i,j+1} - 2w_{i,j} + w_{i,j-1} - \lambda^2 w_{i+1,j} + 2\lambda^2 w_{i,j} - \lambda^2 w_{i-1,j} = 0$$

移項後得最新一次時間步進的近似值  $w_{i,j+1}$  為

$$w_{i,j+1} = 2(1 - \lambda^2)w_{i,j} + \lambda^2(w_{i+1,j} + w_{i-1,j}) - w_{i,j-1} \quad (12.19)$$

此方程式在  $i = 1, 2, \dots, m-1$  及  $j = 1, 2, \dots$  時成立。由邊界條件得

$$w_{0,j} = w_{m,j} = 0 \quad , \quad j = 1, 2, 3, \dots \quad (12.20)$$

由初始條件得

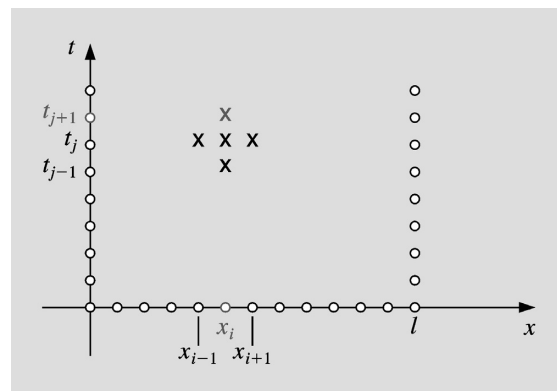
$$w_{i,0} = f(x_i) \quad , \quad i = 1, 2, \dots, m-1 \quad (12.21)$$

將此方程組寫成矩陣型式為

$$\begin{bmatrix} w_{1,j+1} \\ w_{2,j+1} \\ \vdots \\ w_{m-1,j+1} \end{bmatrix} = \begin{bmatrix} 2(1 - \lambda^2) & \lambda^2 & 0 & \cdots & 0 \\ \lambda^2 & 2(1 - \lambda^2) & \lambda^2 & & 0 \\ 0 & \ddots & \ddots & \ddots & \\ \vdots & & & & \lambda^2 \\ 0 & \cdots & 0 & \cdots & 2(1 - \lambda^2) \end{bmatrix} \begin{bmatrix} w_{1,j} \\ w_{2,j} \\ \vdots \\ w_{m-1,j} \end{bmatrix} - \begin{bmatrix} w_{1,j-1} \\ w_{2,j-1} \\ \vdots \\ w_{m-1,j-1} \end{bmatrix} \quad (12.22)$$

由 (12.19) 及 (12.20) 式可知，在計算  $(j+1)$  時距時，須要  $j$  與  $(j-1)$  時距的值。(見圖 12.12) 這樣就出現了起動的問題，因為由 (12.21) 式可得  $j=0$  的值，但是用 (12.19) 式求  $w_{i,2}$  時必須要用到  $j=1$  的值，這必須來自初始速度的條件

$$\frac{\partial u}{\partial t}(x, 0) = g(x), \quad 0 \leq x \leq l$$



| 圖 12.12

一種方法是用前向差分來替換  $\partial u / \partial t$ ，

$$\frac{\partial u}{\partial t}(x_i, 0) = \frac{u(x_i, t_1) - u(x_i, 0)}{k} - \frac{k}{2} \frac{\partial^2 u}{\partial t^2}(x_i, \tilde{\mu}_i) \quad (12.23)$$

其中  $\tilde{\mu}_i$  在  $(0, t_1)$  之間。由此方程式解  $u(x_i, t_1)$  得

$$\begin{aligned} u(x_i, t_1) &= u(x_i, 0) + k \frac{\partial u}{\partial t}(x_i, 0) + \frac{k^2}{2} \frac{\partial^2 u}{\partial t^2}(x_i, \tilde{\mu}_i) \\ &= u(x_i, 0) + kg(x_i) + \frac{k^2}{2} \frac{\partial^2 u}{\partial t^2}(x_i, \tilde{\mu}_i) \end{aligned}$$

刪除截尾誤差項可得近似值，

$$w_{i,1} = w_{i,0} + kg(x_i), \quad i = 1, \dots, m-1 \quad (12.24)$$

但是這樣的近似值其誤差為  $O(k)$ ，而 (12.19) 式的誤差為  $O(k^2)$ 。

## ■ 改進初始近似值

要獲得  $u(x_i, 0)$  更好的近似值，將  $u(x_i, t_1)$  以麥克勞林 (Maclaurin) 多項式對  $t$  展開。則

$$u(x_i, t_1) = u(x_i, 0) + k \frac{\partial u}{\partial t}(x_i, 0) + \frac{k^2}{2} \frac{\partial^2 u}{\partial t^2}(x_i, 0) + \frac{k^3}{6} \frac{\partial^3 u}{\partial t^3}(x_i, \hat{\mu}_i)$$

其中  $\hat{\mu}_i$  在  $(0, t_1)$  之間。如果  $f''$  存在，則

$$\frac{\partial^2 u}{\partial t^2}(x_i, 0) = \alpha^2 \frac{\partial^2 u}{\partial x^2}(x_i, 0) = \alpha^2 \frac{d^2 f}{dx^2}(x_i) = \alpha^2 f''(x_i)$$

且

$$u(x_i, t_1) = u(x_i, 0) + kg(x_i) + \frac{\alpha^2 k^2}{2} f''(x_i) + \frac{k^3}{6} \frac{\partial^3 u}{\partial t^3}(x_i, \hat{\mu}_i)$$

可得誤差為  $O(k^3)$  的近似值：

$$w_{i,1} = w_{i,0} + kg(x_i) + \frac{\alpha^2 k^2}{2} f''(x_i)$$

如果  $f \in C^4[0, 1]$ ，但  $f''(x_i)$  並非現成，則可以使用 (4.9) 式的差分公式寫出

$$f''(x_i) = \frac{f(x_{i+1}) - 2f(x_i) + f(x_{i-1})}{h^2} - \frac{h^2}{12} f^{(4)}(\xi_i)$$

其中  $\xi_i$  在  $(x_{i-1}, x_{i+1})$  之間。由此可得

$$u(x_i, t_1) = u(x_i, 0) + kg(x_i) + \frac{k^2 \alpha^2}{2h^2} [f(x_{i+1}) - 2f(x_i) + f(x_{i-1})] + O(k^3 + h^2 k^2)$$

因為  $\lambda = k\alpha/h$ ，我們可將上式寫成

$$\begin{aligned} u(x_i, t_1) &= u(x_i, 0) + kg(x_i) + \frac{\lambda^2}{2}[f(x_{i+1}) - 2f(x_i) + f(x_{i-1})] + O(k^3 + h^2k^2) \\ &= (1 - \lambda^2)f(x_i) + \frac{\lambda^2}{2}f(x_{i+1}) + \frac{\lambda^2}{2}f(x_{i-1}) + kg(x_i) + O(k^3 + h^2k^2) \end{aligned}$$

因此，可以用差分方程式

$$w_{i,1} = (1 - \lambda^2)f(x_i) + \frac{\lambda^2}{2}f(x_{i+1}) + \frac{\lambda^2}{2}f(x_{i-1}) + kg(x_i) \quad (12.25)$$

求  $i = 1, 2, \dots, m-1$  的  $w_{i,1}$ 。用 (12.22) 式的方程組可求出後續的近似值。

雖然 (12.24) 式同樣可用，但在算則 12.4 中採用 (12.25) 式求  $w_{i,1}$ 。在此假設已知計算終止時間  $t$  的上限，且  $k = T/N$ ，其中  $N$  也是已知。

#### 算則 12.4 波動方程式的有限差分法 (Wave Equation Finite-Difference)

求波動方程式

$$\frac{\partial^2 u}{\partial t^2}(x, t) - \alpha^2 \frac{\partial^2 u}{\partial x^2}(x, t) = 0, \quad 0 < x < l, \quad 0 < t < T$$

的近似解，已知邊界條件

$$u(0, t) = u(l, t) = 0, \quad 0 < t < T$$

及初始條件

$$u(x, 0) = f(x) \quad \text{和} \quad \frac{\partial u}{\partial t}(x, 0) = g(x), \quad 0 \leq x \leq l$$

**INPUT** 端點  $l$ ；最大時間  $T$ ；常數  $\alpha$ ；整數  $m \geq 2$  及  $N \geq 2$ 。

**OUTPUT**  $u(x_i, t_j)$  在每個  $i = 0, \dots, m$  及  $j = 0, \dots, N$  的近似值  $w_{ij}$ 。

**Step 1** Set  $h = l/m$ ;

$$k = T/N;$$

$$\lambda = k\alpha/h.$$

**Step 2** For  $j = 1, \dots, N$  set  $w_{0,j} = 0$ ;

$$w_{m,j} = 0;$$

**Step 3** Set  $w_{0,0} = f(0)$ ;

$$w_{m,0} = f(l).$$

**Step 4** For  $i = 1, \dots, m-1$  (對  $t = 0$  及  $t = k$  做初始化)

$$\text{set } w_{i,0} = f(ih);$$

$$w_{i,1} = (1 - \lambda^2)f(ih) + \frac{\lambda^2}{2}[f((i+1)h) + f((i-1)h)] + kg(ih).$$

**Step 5** For  $j = 1, \dots, N-1$  (執行矩陣乘法)

for  $i = 1, \dots, m-1$

$$\text{set } w_{i,j+1} = 2(1 - \lambda^2)w_{i,j} + \lambda^2(w_{i+1,j} + w_{i-1,j}) - w_{i,j-1}.$$

**Step 6** For  $j = 0, \dots, N$

```

    set  $t = jk$ ;
    for  $i = 0, \dots, m$ 
        set  $x = ih$ ;
        OUTPUT  $(x, t, w_{ij})$ .
  
```

**Step 7** STOP. (程序完成) ■

### 例題 1 求雙曲線型偏微分方程

$$\frac{\partial^2 u}{\partial t^2}(x, t) - 4 \frac{\partial^2 u}{\partial x^2}(x, t) = 0, \quad 0 < x < 1, \quad 0 < t$$

之近似解，其邊界條件為

$$u(0, t) = u(1, t) = 0, \quad 0 < t$$

初始條件為

$$u(x, 0) = \sin(\pi x), \quad 0 \leq x \leq 1, \text{ 及 } \frac{\partial u}{\partial t}(x, 0) = 0, \quad 0 \leq x \leq 1$$

使用  $h = 0.1$  及  $k = 0.05$ 。將結果與確解

$$u(x, t) = \sin \pi x \cos 2\pi t$$

做比較。

**解** 選用  $h = 0.1$  及  $k = 0.05$  可得  $\lambda = 1$ 、 $m = 10$  及  $N = 20$ 。我們選取最大時間  $T = 1$  並使用有限差分法算則 12.4。這會得到  $i = 0, 1, \dots, 10$  之  $u(0.1i, 1)$  的近似值  $w_{i,N}$ 。計算結果如表 12.6 所示，均準確至所示位數。■

此方法的截尾誤差為  $O(k^2 + h^2)$ ，但以上結果的準確度超過預期。這是因為此問題的確解是無限可微。在此種情況下使用泰勒級數可得

$$\begin{aligned} & \frac{u(x_{i+1}, t_j) - 2u(x_i, t_j) + u(x_{i-1}, t_j)}{h^2} \\ &= \frac{\partial^2 u}{\partial x^2}(x_i, t_j) + 2 \left[ \frac{h^2}{4!} \frac{\partial^4 u}{\partial x^4}(x_i, t_j) + \frac{h^4}{6!} \frac{\partial^6 u}{\partial x^6}(x_i, t_j) + \dots \right] \end{aligned}$$

及

$$\begin{aligned} & \frac{u(x_i, t_{j+1}) - 2u(x_i, t_j) + u(x_i, t_{j-1})}{k^2} \\ &= \frac{\partial^2 u}{\partial t^2}(x_i, t_j) + 2 \left[ \frac{k^2}{4!} \frac{\partial^4 u}{\partial t^4}(x_i, t_j) + \frac{h^4}{6!} \frac{\partial^6 u}{\partial t^6}(x_i, t_j) + \dots \right] \end{aligned}$$

因為  $u(x, t)$  滿足偏微分方程

表 12.6

$x_i$	$w_{i,50}$
0.0	0.0000000000
0.1	0.3090169944
0.2	0.5877852523
0.3	0.8090169944
0.4	0.9510565163
0.5	1.0000000000
0.6	0.9510565163
0.7	0.8090169944
0.8	0.5877852523
0.9	0.3090169944
1.0	0.0000000000

$$\begin{aligned}
 & \frac{u(x_i, t_{j+1}) - 2u(x_i, t_j) + u(x_i, t_{j-1})}{k^2} - \alpha^2 \frac{u(x_{i+1}, t_j) - 2u(x_i, t_j) + u(x_{i-1}, t_j)}{h^2} \\
 &= 2 \left[ \frac{1}{4!} \left( k^2 \frac{\partial^4 u}{\partial t^4}(x_i, t_j) - \alpha^2 h^2 \frac{\partial^4 u}{\partial x^4}(x_i, t_j) \right) \right. \\
 &\quad \left. + \frac{1}{6!} \left( k^4 \frac{\partial^6 u}{\partial t^6}(x_i, t_j) - \alpha^2 h^4 \frac{\partial^6 u}{\partial x^6}(x_i, t_j) \right) + \dots \right]
 \end{aligned} \tag{12.26}$$

但是對波動方程式微分可得

$$\begin{aligned}
 k^2 \frac{\partial^4 u}{\partial t^4}(x_i, t_j) &= k^2 \frac{\partial^2}{\partial t^2} \left[ \alpha^2 \frac{\partial^2 u}{\partial x^2}(x_i, t_j) \right] = \alpha^2 k^2 \frac{\partial^2}{\partial x^2} \left[ \frac{\partial^2 u}{\partial t^2}(x_i, t_j) \right] \\
 &= \alpha^2 k^2 \frac{\partial^2}{\partial x^2} \left[ \alpha^2 \frac{\partial^2 u}{\partial x^2}(x_i, t_j) \right] = \alpha^4 k^2 \frac{\partial^4 u}{\partial x^4}(x_i, t_j)
 \end{aligned}$$

而且因為  $\lambda^2 = (\alpha^2 k^2 / h^2) = 1$ ，我們可得

$$\frac{1}{4!} \left[ k^2 \frac{\partial^4 u}{\partial t^4}(x_i, t_j) - \alpha^2 h^2 \frac{\partial^4 u}{\partial x^4}(x_i, t_j) \right] = \frac{\alpha^2}{4!} [\alpha^2 k^2 - h^2] \frac{\partial^4 u}{\partial x^4}(x_i, t_j) = 0$$

重複同樣的過程，可得 (12.26) 式右側的所有項都為 0，所以局部截尾誤差為 0。例題 1 中只有計算  $w_{i,1}$  的誤差及捨入誤差。

與解熱傳方程式的前向差分法一樣，解波動方程式的顯式有限差分法也有穩定性的問題。事實上，此方法要在  $\lambda = \alpha k / h \leq 1$  的條件下才會穩定。(見 [IK], p. 489) 算則 12.4 的外顯法在  $\lambda \leq 1$  時，收斂速率為  $O(h^2 + k^2)$ ，前提為  $f$  與  $g$  為充份可微。要驗證此點可參考 [IK], p. 491。

雖然未在本書介紹，但也有無條件穩定的隱式法可用。在 [Am], p. 199、[Mi] 或 [Sm, G] 中，對這類方法有所討論。

### 習題組 12.3 / 完整習題請見隨書光碟

#### 1. 求波動方程式

$$\begin{aligned}
 \frac{\partial^2 u}{\partial t^2} - \frac{\partial^2 u}{\partial x^2} &= 0, \quad 0 < x < 1, \quad 0 < t \\
 u(0, t) &= u(1, t) = 0, \quad 0 < t \\
 u(x, 0) &= \sin \pi x, \quad 0 \leq x \leq 1 \\
 \frac{\partial u}{\partial t}(x, 0) &= 0, \quad 0 \leq x \leq 1
 \end{aligned}$$

之近似解，使用有限差分算則 12.4 及  $m = 4$ 、 $N = 4$ 、和  $T = 1.0$ 。將  $t = 1.0$  的結果與確解  $u(x, t) = \cos \pi t \sin \pi x$  做比較。

**2. 求波動方程式**

$$\frac{\partial^2 u}{\partial t^2} - \frac{1}{16\pi^2} \frac{\partial^2 u}{\partial x^2} = 0, \quad 0 < x < 0.5, \quad 0 < t$$

$$u(0, t) = u(0.5, t) = 0, \quad 0 < t$$

$$u(x, 0) = 0, \quad 0 \leq x \leq 0.5$$

$$\frac{\partial u}{\partial t}(x, 0) = \sin 4\pi x, \quad 0 \leq x \leq 0.5$$

之近似解，使用有限差分算則 12.4 及  $m = 4$ 、 $N = 4$ 、和  $T = 0.5$ 。將  $t = 0.5$  的結果與確解  $u(x, t) = \sin t \sin 4\pi x$  做比較。

**3. 求波動方程式**

$$\frac{\partial^2 u}{\partial t^2} - \frac{\partial^2 u}{\partial x^2} = 0, \quad 0 < x < \pi, \quad 0 < t$$

$$u(0, t) = u(\pi, t) = 0, \quad 0 < t$$

$$u(x, 0) = \sin x, \quad 0 \leq x \leq \pi$$

$$\frac{\partial u}{\partial t}(x, 0) = 0, \quad 0 \leq x \leq \pi$$

之近似解，使用有限差分算則分別配合  $h = \pi/10$  和  $k = 0.05$ 、 $h = \pi/20$  和  $k = 0.1$ 、以及  $h = \pi/20$  和  $k = 0.05$ 。將  $t = 0.5$  的結果與確解  $u(x, t) = \cos t \sin x$  做比較。

**4. 將算則 12.4 之 Step 4 所用的近似值換成**

$$w_{i,1} = w_{i,0} + kg(x_i), \quad i = 1, \dots, m-1$$

重做習題 3。

**5. 求波動方程式**

$$\frac{\partial^2 u}{\partial t^2} - \frac{\partial^2 u}{\partial x^2} = 0, \quad 0 < x < 1, \quad 0 < t$$

$$u(0, t) = u(1, t) = 0, \quad 0 < t$$

$$u(x, 0) = \sin 2\pi x, \quad 0 \leq x \leq 1$$

$$\frac{\partial u}{\partial t}(x, 0) = 2\pi \sin 2\pi x, \quad 0 \leq x \leq 1$$

之近似解，使用算則 12.4 及  $h = 0.1$  和  $k = 0.1$ 。將  $t = 0.3$  的結果與確解  $u(x, t) = \sin 2\pi x (\cos 2\pi t + \sin 2\pi t)$  做比較。

**6. 求波動方程式**

$$\frac{\partial^2 u}{\partial t^2} - \frac{\partial^2 u}{\partial x^2} = 0, \quad 0 < x < 1, \quad 0 < t$$

$$u(0, t) = u(1, t) = 0, \quad 0 < t$$

$$u(x, 0) = \begin{cases} 1, & 0 \leq x \leq \frac{1}{2} \\ -1, & \frac{1}{2} < x \leq 1 \end{cases}$$

$$\frac{\partial u}{\partial t}(x, 0) = 0, \quad 0 \leq x \leq 1$$

的近似解，使用算則 12.4 及  $h = 0.1$  和  $k = 0.1$ 。

7. 管風琴的風管內氣壓  $p(x, t)$  的統御方程式可寫為

$$\frac{\partial^2 p}{\partial x^2} = \frac{1}{c^2} \frac{\partial^2 p}{\partial t^2}, \quad 0 < x < l, 0 < t$$

其中  $l$  為管長， $c$  為常數。若風管為開口，邊界條件為

$$p(0, t) = p_0 \text{ 及 } p(l, t) = p_0$$

如果風管在端點  $x = l$  處為封閉，邊界條件為

$$p(0, t) = p_0 \text{ 及 } \frac{\partial p}{\partial x}(l, t) = 0$$

假設  $c = 1$ 、 $l = 1$ ，且初始條件為

$$p(x, 0) = p_0 \cos 2\pi x, \text{ 及 } \frac{\partial p}{\partial t}(x, 0) = 0, \quad 0 \leq x \leq 1$$

- a. 用算則 12.4 配合  $h = k = 0.1$  求開口條件下在  $x = \frac{1}{2}$  處  $t = 0.5$  及  $t = 1$  的風管壓力的近似解，給定  $p_0 = 0.9$ 。
- b. 修改算則 12.4，以求解封閉條件下的壓力，給定  $p_0 = 0.9$ ， $h = k = 0.1$ ，求  $p(0.5, 0.5)$  及  $p(0.5, 1)$ 。
- 8. 以長度為  $l$  的電力傳輸線輸送高頻交流電（叫做「無耗損」線路），其電壓  $V$  及電流  $i$  之關係為

$$\frac{\partial^2 V}{\partial x^2} = LC \frac{\partial^2 V}{\partial t^2}, \quad 0 < x < l, 0 < t$$

$$\frac{\partial^2 i}{\partial x^2} = LC \frac{\partial^2 i}{\partial t^2}, \quad 0 < x < l, 0 < t$$

其中  $L$  為每單位長度之電感， $C$  為每單位長度之電容。設定此線路為 200 ft 長，且常數  $L$  及  $C$  為

$$C = 0.1 \text{ farads/ft} \text{ 及 } L = 0.3 \text{ henries/ft}$$

令電壓及電流同時滿足

$$V(0, t) = V(200, t) = 0, \quad 0 < t$$

$$V(x, 0) = 110 \sin \frac{\pi x}{200}, \quad 0 \leq x \leq 200$$

$$\frac{\partial V}{\partial t}(x, 0) = 0, \quad 0 \leq x \leq 200$$

$$i(0, t) = i(200, t) = 0, \quad 0 < t$$

$$i(x, 0) = 5.5 \cos \frac{\pi x}{200}, \quad 0 \leq x \leq 200$$

及

$$\frac{\partial i}{\partial t}(x, 0) = 0, \quad 0 \leq x \leq 200$$

用算則 12.4 及  $h = 10$  和  $k = 0.1$  求  $t = 0.2$  及  $t = 0.5$  時電壓與電流的近似值。

## 12.4 簡介有限元素法

有限元素法 (Finite-Element method) 與 11.5 節中所介紹的，求兩點邊界值問題近似解的 Rayleigh-Ritz 法類似。此方法原本是用於土木工程的領域，但現在已用於求應用數學範疇中各種偏微分方程的近似解。

與有限差分法相比，有限元素法的優點是，邊界條件容易處理。許多物理問題的邊界條件中，包含了導數及不規則形狀的邊界。這樣子的邊界條件，用有限差分法處理起來很困難。因為每個導數項都必須換成格點上的差分式，不規則的外形則使得格點配置變得很困難。而有限元素法則將邊界條件整合入一個求最小化的泛函中，所以它的建構程序與特定的邊界條件無關。

在本節中我們討論的偏微分方程為

$$\frac{\partial}{\partial x} \left( p(x,y) \frac{\partial u}{\partial x} \right) + \frac{\partial}{\partial y} \left( q(x,y) \frac{\partial u}{\partial y} \right) + r(x,y)u(x,y) = f(x,y) \quad (12.27)$$

其中  $(x, y) \in \mathcal{D}$ ， $\mathcal{D}$  是一個平面區域，其邊界為  $\mathcal{S}$ 。

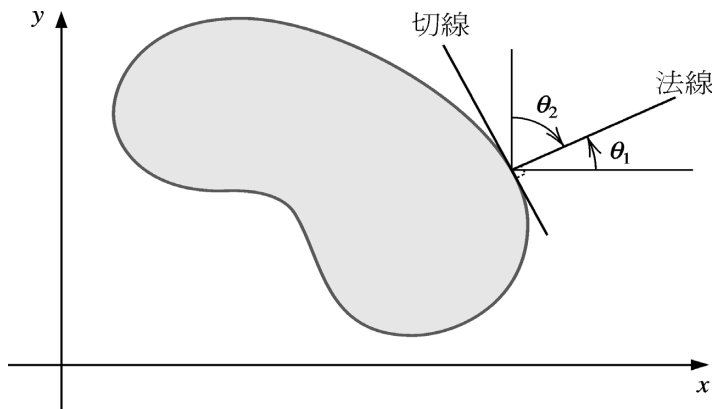
在一部分邊界  $\mathcal{S}_1$  上加入

$$u(x,y) = g(x,y) \quad (12.28)$$

的邊界條件。在其餘的邊界  $\mathcal{S}_2$  上，則方程式的解  $u(x,y)$  必須滿足

$$p(x,y) \frac{\partial u}{\partial x}(x,y) \cos \theta_1 + q(x,y) \frac{\partial u}{\partial y}(x,y) \cos \theta_2 + g_1(x,y)u(x,y) = g_2(x,y) \quad (12.29)$$

其中  $\theta_1$  與  $\theta_2$  為點  $(x, y)$  處外向法線 (outward normal) 的方向角。(見圖 12.13)



| 圖 12.13

在固體及彈性力學中都會出現類似 (12.27) 式的偏微分方程。這類問題典型的解法是，在一類取決於問題本身的函數中，找出某個包含積分之泛函的最小值。

設  $p$ 、 $q$ 、 $r$  及  $f$  在  $\mathcal{D} \cup \mathcal{S}$  均為連續， $p$  及  $q$  的一階偏導數為連續，而  $g_1$  和  $g_2$  在  $\mathcal{S}_2$  為

連續。再設我們同時有  $p(x, y) > 0$ 、 $q(x, y) > 0$ 、 $r(x, y) \leq 0$  及  $g_1(x, y) > 0$ 。則 (12.27) 式的解可以唯一的使泛函

$$\begin{aligned} I[w] = & \iint_D \left\{ \frac{1}{2} \left[ p(x, y) \left( \frac{\partial w}{\partial x} \right)^2 + q(x, y) \left( \frac{\partial w}{\partial y} \right)^2 - r(x, y) w^2 \right] + f(x, y) w \right\} dx dy \\ & + \int_{S_2} \left\{ -g_2(x, y) w + \frac{1}{2} g_1(x, y) w^2 \right\} dS \end{aligned} \quad (12.30)$$

為最小，而  $w$  為所有二次可微且在  $S_1$  上滿足 (12.28) 式的函數。有限元素法在較小的函數組合中將泛函  $I$  最小化，以獲得問題的近似解，類似於 11.5 節中 Rayleigh-Ritz 法解邊界值問題的方式。

## ■ 定義元素

第一步是將要求解的區域，用規則的形狀，劃分成有限數目的區段或元素，可以是矩形或三角形。(見圖 12.14)

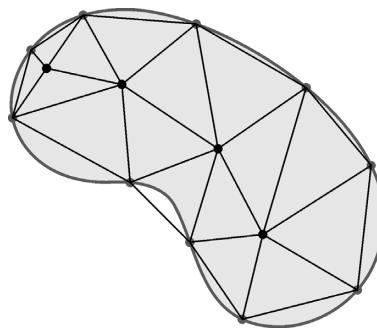
用來求近似解的函數集合，通常是  $x$  和  $y$  固定次數的分段多項式，且這些多項式的分段方式，必須能使所得的函數在整個區間中為可積的，或其一或二階導數為連續。對  $x$  和  $y$  為線性的多項式

$$\phi(x, y) = a + bx + cy$$

常用於三角形元素，對  $x$  和  $y$  為雙線性 (bilinear) 的多項式

$$\phi(x, y) = a + bx + cy + dxy$$

常用於矩形元素。



| 圖 12.14

假設區域  $D$  已用三角形元素完成劃分。所有三角形的集合記做  $D$ ，各三角形的頂點叫做**節點** (node)。此方法要找型式為

$$\phi(x, y) = \sum_{i=1}^m \gamma_i \phi_i(x, y) \quad (12.31)$$

的近似解，其中  $\phi_1, \phi_2, \dots, \phi_m$  為線性獨立的分段線性多項式，而  $\gamma_1, \gamma_2, \dots, \gamma_m$  為常數。這些常數中的一部分，例如  $\gamma_{n+1}, \gamma_{n+2}, \dots, \gamma_m$ ，是用來滿足  $S_1$  上的邊界條件

$$\phi(x, y) = g(x, y)$$

而其餘的常數  $\gamma_1, \gamma_2, \dots, \gamma_n$  則用來使泛函  $I\left[\sum_{i=1}^m \gamma_i \phi_i\right]$  最小化。

用 (12.31) 式的  $\phi(x, y)$  取代 (12.30) 式中的  $w$  可得

$$\begin{aligned} I[\phi] &= I\left[\sum_{i=1}^m \gamma_i \phi_i\right] \\ &= \iint_D \left( \frac{1}{2} \left\{ p(x, y) \left[ \sum_{i=1}^m \gamma_i \frac{\partial \phi_i}{\partial x}(x, y) \right]^2 + q(x, y) \left[ \sum_{i=1}^m \gamma_i \frac{\partial \phi_i}{\partial y}(x, y) \right]^2 \right. \right. \\ &\quad \left. \left. - r(x, y) \left[ \sum_{i=1}^m \gamma_i \phi_i(x, y) \right]^2 \right\} + f(x, y) \sum_{i=1}^m \gamma_i \phi_i(x, y) \right) dy dx \\ &\quad + \int_{S_2} \left\{ -g_2(x, y) \sum_{i=1}^m \gamma_i \phi_i(x, y) + \frac{1}{2} g_1(x, y) \left[ \sum_{i=1}^m \gamma_i \phi_i(x, y) \right]^2 \right\} dS \end{aligned} \quad (12.32)$$

將  $I$  視為是  $\gamma_1, \gamma_2, \dots, \gamma_n$  的函數， $I$  要有最小值必須

$$\frac{\partial I}{\partial \gamma_j} = 0 \quad , \quad j = 1, 2, \dots, n$$

將 (12.32) 式微分可得

$$\begin{aligned} \frac{\partial I}{\partial \gamma_j} &= \iint_D \left\{ p(x, y) \sum_{i=1}^m \gamma_i \frac{\partial \phi_i}{\partial x}(x, y) \frac{\partial \phi_j}{\partial x}(x, y) \right. \\ &\quad + q(x, y) \sum_{i=1}^m \gamma_i \frac{\partial \phi_i}{\partial y}(x, y) \frac{\partial \phi_j}{\partial y}(x, y) \\ &\quad \left. - r(x, y) \sum_{i=1}^m \gamma_i \phi_i(x, y) \phi_j(x, y) + f(x, y) \phi_j(x, y) \right\} dx dy \\ &\quad + \int_{S_2} \left\{ -g_2(x, y) \phi_j(x, y) + g_1(x, y) \sum_{i=1}^m \gamma_i \phi_i(x, y) \phi_j(x, y) \right\} dS \end{aligned}$$

所以

$$\begin{aligned} 0 &= \sum_{i=1}^m \left[ \iint_D \left\{ p(x, y) \frac{\partial \phi_i}{\partial x}(x, y) \frac{\partial \phi_j}{\partial x}(x, y) + q(x, y) \frac{\partial \phi_i}{\partial y}(x, y) \frac{\partial \phi_j}{\partial y}(x, y) \right. \right. \\ &\quad \left. \left. - r(x, y) \phi_i(x, y) \phi_j(x, y) \right\} dx dy \right. \\ &\quad \left. + \int_{S_2} g_1(x, y) \phi_i(x, y) \phi_j(x, y) dS \right] \gamma_i \\ &\quad + \iint_D f(x, y) \phi_j(x, y) dx dy - \int_{S_2} g_2(x, y) \phi_j(x, y) dS \end{aligned}$$

其中  $j = 1, 2, \dots, n$ 。這一組方程式可寫成線性方程組：

$$A\mathbf{c} = \mathbf{b}$$

其中  $\mathbf{c} = (\gamma_1, \dots, \gamma_n)^t$ ，且其中  $A = (\alpha_{ij})$  及  $\mathbf{b} = (\beta_1, \dots, \beta_n)^t$  的定義為

$$\begin{aligned} \alpha_{ij} = & \iint_D \left[ p(x, y) \frac{\partial \phi_i}{\partial x}(x, y) \frac{\partial \phi_j}{\partial x}(x, y) + q(x, y) \frac{\partial \phi_i}{\partial y}(x, y) \frac{\partial \phi_j}{\partial y}(x, y) \right. \\ & \left. - r(x, y) \phi_i(x, y) \phi_j(x, y) \right] dx dy + \int_{S_2} g_1(x, y) \phi_i(x, y) \phi_j(x, y) dS \end{aligned} \quad (12.33)$$

其中  $i = 1, 2, \dots, n$  及  $j = 1, 2, \dots, m$ ，且

$$\beta_i = - \iint_D f(x, y) \phi_i(x, y) dx dy + \int_{S_2} g_2(x, y) \phi_i(x, y) dS - \sum_{k=n+1}^m \alpha_{ik} \gamma_k \quad (12.34)$$

$i = 1, \dots, n$ 。

基底函數的選取是很重要的，適當的選擇可使得矩陣  $A$  為正定且為帶狀矩陣。對於 (12.27) 式的二階問題，我們假設  $D$  為多邊形，所以  $D = D$ ， $S$  為連續線段的集合。

## ■ 劃分三角區域

我們先將區域  $D$  分割成三角形  $T_1, T_2, \dots, T_M$ ，其中第  $i$  個三角形的頂點，或稱節點，記做

$$V_j^{(i)} = (x_j^{(i)}, y_j^{(i)}) \quad , \quad j = 1, 2, 3$$

為簡化符號，當針對固定的三角形  $T_i$  時，我們將  $V_j^{(i)}$  記做  $V_j = (x_j, y_j)$ 。對每一個頂點  $V_j$  有一個線性多項式

$$N_j^{(i)}(x, y) \equiv N_j(x, y) = a_j + b_j x + c_j y \quad , \text{ 其中 } N_j^{(i)}(x_k, y_k) = \begin{cases} 1, & \text{若 } j = k \\ 0, & \text{若 } j \neq k \end{cases}$$

這樣就得到線性方程組

$$\begin{bmatrix} 1 & x_1 & y_1 \\ 1 & x_2 & y_2 \\ 1 & x_3 & y_3 \end{bmatrix} \begin{bmatrix} a_j \\ b_j \\ c_j \end{bmatrix} = \begin{bmatrix} 0 \\ 1 \\ 0 \end{bmatrix}$$

而元素 1 出現在右側向量的第  $j$  列 (在此  $j=2$ )。

令  $D \cup S$  上的節點以  $E_1, \dots, E_n$  編號。對每個節點  $E_k$  我們配上一個函數  $\phi_k$ ，此函數在每個三角形為線性，且在  $E_k$  的值為 1，在其他節點的值都為 0。這樣就使得，當節點  $E_k$  即為頂點  $V_j^{(i)}$  時，在三角形  $T_i$  上  $\phi_k$  等於  $N_j^{(i)}$ 。

**說明題** 假設有一個有限元素問題，包括三角形  $T_1$  及  $T_2$ ，如圖 12.15 所示。

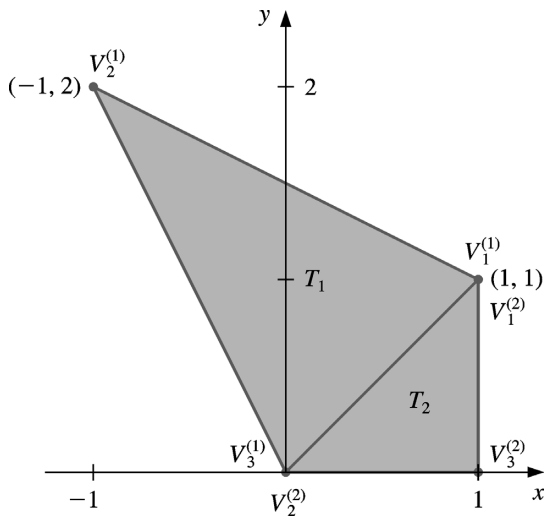


圖 12.15

線性函數  $N_1^{(1)}(x, y)$  在  $(1, 1)$  的值為 1，在  $(0, 0)$  及  $(-1, 2)$  的值均為 0，滿足

$$a_1^{(1)} + b_1^{(1)}(1) + c_1^{(1)}(1) = 1$$

$$a_1^{(1)} + b_1^{(1)}(-1) + c_1^{(1)}(2) = 0$$

及

$$a_1^{(1)} + b_1^{(1)}(0) + c_1^{(1)}(0) = 0$$

此方程組的解為  $a_1^{(1)} = 0$ 、 $b_1^{(1)} = \frac{2}{3}$  及  $c_1^{(1)} = \frac{1}{3}$ ，所以

$$N_1^{(1)}(x, y) = \frac{2}{3}x + \frac{1}{3}y$$

同樣的，線性函數  $N_1^{(2)}(x, y)$  在  $(1, 1)$  的值為 1，在  $(0, 0)$  及  $(1, 0)$  的值均為 0，滿足

$$a_1^{(2)} + b_1^{(2)}(1) + c_1^{(2)}(1) = 1$$

$$a_1^{(2)} + b_1^{(2)}(0) + c_1^{(2)}(0) = 0$$

及

$$a_1^{(2)} + b_1^{(2)}(1) + c_1^{(2)}(0) = 0$$

所以  $a_1^{(2)} = 0$ 、 $b_1^{(2)} = 0$  及  $c_1^{(2)} = 1$ 。因此  $N_1^{(2)}(x, y) = y$ 。而在  $T_1$  及  $T_2$  的共同邊界上  $N_1^{(1)}(x, y) = N_1^{(2)}(x, y)$ ，因為  $y = x$ 。 $\square$

考慮圖 12.16 所示的圖形，這是圖 12.14 中圖形的左上部。我們要產生相對於圖示節點之矩陣  $A$  的元素。

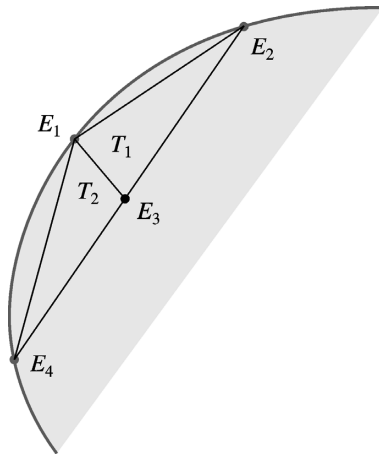


圖 12.16

為求簡化，我們假設  $E_1$  是  $\mathcal{S}_1$  上的節點，適用  $u(x, y) = g(x, y)$  的邊界條件。此部分的節點與三角形頂點之間的關係為

$$E_1 = V_3^{(1)} = V_1^{(2)}, \quad E_4 = V_2^{(2)}, \quad E_3 = V_2^{(1)} = V_3^{(2)}, \text{ 及 } E_2 = V_1^{(1)}$$

因為  $\phi_1$  及  $\phi_3$  在  $T_1$  及  $T_2$  均不為零，元素  $\alpha_{1,3} = \alpha_{3,1}$  為

$$\begin{aligned} \alpha_{1,3} &= \iint_D \left[ p \frac{\partial \phi_1}{\partial x} \frac{\partial \phi_3}{\partial x} + q \frac{\partial \phi_1}{\partial y} \frac{\partial \phi_3}{\partial y} - r \phi_1 \phi_3 \right] dx dy \\ &= \iint_{T_1} \left[ p \frac{\partial \phi_1}{\partial x} \frac{\partial \phi_3}{\partial x} + q \frac{\partial \phi_1}{\partial y} \frac{\partial \phi_3}{\partial y} - r \phi_1 \phi_3 \right] dx dy \\ &\quad + \iint_{T_2} \left[ p \frac{\partial \phi_1}{\partial x} \frac{\partial \phi_3}{\partial x} + q \frac{\partial \phi_1}{\partial y} \frac{\partial \phi_3}{\partial y} - r \phi_1 \phi_3 \right] dx dy \end{aligned}$$

在三角形  $T_1$  上

$$\phi_1(x, y) = N_3^{(1)}(x, y) = a_3^{(1)} + b_3^{(1)}x + c_3^{(1)}y$$

且

$$\phi_3(x, y) = N_2^{(1)}(x, y) = a_2^{(1)} + b_2^{(1)}x + c_2^{(1)}y$$

所以對所有的  $(x, y)$ ，

$$\frac{\partial \phi_1}{\partial x} = b_3^{(1)} \quad , \quad \frac{\partial \phi_1}{\partial y} = c_3^{(1)} \quad , \quad \frac{\partial \phi_3}{\partial x} = b_2^{(1)} \quad \text{及} \quad \frac{\partial \phi_3}{\partial y} = c_2^{(1)}$$

同樣的，在  $T_2$  上

$$\phi_1(x, y) = N_1^{(2)}(x, y) = a_1^{(2)} + b_1^{(2)}x + c_1^{(2)}y$$

且

$$\phi_3(x, y) = N_3^{(2)}(x, y) = a_3^{(2)} + b_3^{(2)}x + c_3^{(2)}y$$

所以對所有的  $(x, y)$ ，

$$\frac{\partial \phi_1}{\partial x} = b_1^{(2)} \quad , \quad \frac{\partial \phi_1}{\partial y} = c_1^{(2)} \quad , \quad \frac{\partial \phi_3}{\partial x} = b_3^{(2)} \quad \text{及} \quad \frac{\partial \phi_3}{\partial y} = c_3^{(2)}$$

因此，

$$\begin{aligned} \alpha_{1,3} &= b_3^{(1)} b_2^{(1)} \iint_{T_1} p \, dx \, dy + c_3^{(1)} c_2^{(1)} \iint_{T_1} q \, dx \, dy \\ &\quad - \iint_{T_1} r(a_3^{(1)} + b_3^{(1)}x + c_3^{(1)}y)(a_2^{(1)} + b_2^{(1)}x + c_2^{(1)}y) \, dx \, dy \\ &\quad + b_1^{(2)} b_3^{(2)} \iint_{T_2} p \, dx \, dy + c_1^{(2)} c_3^{(2)} \iint_{T_2} q \, dx \, dy \\ &\quad - \iint_{T_2} r(a_1^{(2)} + b_1^{(2)}x + c_1^{(2)}y)(a_3^{(2)} + b_3^{(2)}x + c_3^{(2)}y) \, dx \, dy \end{aligned}$$

所有對  $D$  的雙重積分簡化為對三角形的雙重積分。通常的程序是，計算三角形上所有可能的積分值，然後將其累加至  $A$  中正確的元素  $\alpha_{ij}$ 。同樣的，雙重積分

$$\iint_D f(x, y)\phi_i(x, y) \, dx \, dy$$

也是在三角形上計算，然後累加至  $\mathbf{b}$  中正確的元素  $\beta_i$ 。例如，求  $\beta_1$  須要

$$\begin{aligned} - \iint_D f(x, y)\phi_1(x, y) \, dx \, dy &= - \iint_{T_1} f(x, y)[a_3^{(1)} + b_3^{(1)}x + c_3^{(1)}y] \, dx \, dy \\ &\quad - \iint_{T_2} f(x, y)[a_1^{(2)} + b_1^{(2)}x + c_1^{(2)}y] \, dx \, dy \end{aligned}$$

因為  $E_1$  同時是  $T_1$  及  $T_2$  的頂點，所以  $\beta_1$  的一部分來自  $T_1$  的  $\phi_1$ ，另一部分則來自  $T_2$  的  $\phi_1$ 。另外，在  $\mathcal{S}_2$  上的節點其在  $A$  及  $\mathbf{b}$  中的元素要再加一個線積分。

算則 12.5 則將有限元素法用於二階橢圓型微分方程。此算則將  $A$  及  $\mathbf{b}$  的所有元素的初始值都設為 0，在獲得了所有三角形的所有積分值之後，再將其加至正確的  $A$  及  $\mathbf{b}$  的元素。

### 算則 12.5 有限元素法

求偏微分方程

$$\frac{\partial}{\partial x} \left( p(x, y) \frac{\partial u}{\partial x} \right) + \frac{\partial}{\partial y} \left( q(x, y) \frac{\partial u}{\partial y} \right) + r(x, y)u = f(x, y), \quad (x, y) \in D$$

之近似解，給定邊界條件

$$u(x, y) = g(x, y), \quad (x, y) \in \mathcal{S}_1$$

對  $(x, y) \in \mathcal{S}_2$  則有

$$p(x, y) \frac{\partial u}{\partial x}(x, y) \cos \theta_1 + q(x, y) \frac{\partial u}{\partial y}(x, y) \cos \theta_2 + g_1(x, y)u(x, y) = g_2(x, y)$$

其中  $\mathcal{S}_1 \cup \mathcal{S}_2$  為  $D$  之邊界，而  $\theta_1$  及  $\theta_2$  為邊界上法線之方向角：

**Step 0** 將區域  $D$  劃分為三角形  $T_1, \dots, T_M$  使得：

三角形  $T_1, \dots, T_K$  沒有任一邊在  $\mathcal{S}_1$  或  $\mathcal{S}_2$  上；

(註： $K = 0$  代表  $D$  沒有內部三角形)

三角形  $T_{K+1}, \dots, T_N$  至少有一邊在  $\mathcal{S}_2$  上；

$T_{N+1}, \dots, T_M$  為其餘的三角形。

(註： $M = N$  代表所有三角形都有邊在  $\mathcal{S}_2$  上)

將三角形  $T_i$  的三個頂點標示為

$$(x_1^{(i)}, y_1^{(i)}), (x_2^{(i)}, y_2^{(i)}) \text{ 及 } (x_3^{(i)}, y_3^{(i)}).$$

將所有節點編號為  $E_1, \dots, E_m$ ，其中  $E_1, \dots, E_n$  在  $D \cup \mathcal{S}_2$  之內且  $E_{n+1}, \dots, E_m$  在  $\mathcal{S}_1$  上。

(註： $n = m$  代表  $\mathcal{S}_1$  上沒有節點)

**INPUT** 整數  $K, N, M, n, m$ ；每個  $i = 1, \dots, M$  的頂點  $(x_1^{(i)}, y_1^{(i)})$ 、  
 $(x_2^{(i)}, y_2^{(i)})$ 、 $(x_3^{(i)}, y_3^{(i)})$ ；每個  $j = 1, \dots, m$  的節點  $E_j$ 。

(註：我們所要的是一種將頂點  $(x_k^{(i)}, y_k^{(i)})$  對應到節點  $E_j = (x_j, y_j)$  的方法。)

**OUTPUT** 常數  $\gamma_1, \dots, \gamma_m$ ； $a_j^{(i)}, b_j^{(i)}, c_j^{(i)}$ ,  $j = 1, 2, 3$  及  $i = 1, \dots, M$ 。

**Step 1** For  $l = n + 1, \dots, m$  set  $\gamma_l = g(x_l, y_l)$ . (註： $E_l = (x_l, y_l)$ )

**Step 2** For  $i = 1, \dots, n$

set  $\beta_i = 0$ ;

for  $j = 1, \dots, n$  set  $\alpha_{i,j} = 0$ .

**Step 3** For  $i = 1, \dots, M$

$$\begin{aligned} \text{set } \Delta_i &= \det \begin{vmatrix} 1 & x_1^{(i)} & y_1^{(i)} \\ 1 & x_2^{(i)} & y_2^{(i)} \\ 1 & x_3^{(i)} & y_3^{(i)} \end{vmatrix}; \\ a_1^{(i)} &= \frac{x_2^{(i)}y_3^{(i)} - y_2^{(i)}x_3^{(i)}}{\Delta_i}; & b_1^{(i)} &= \frac{y_2^{(i)} - y_3^{(i)}}{\Delta_i}; & c_1^{(i)} &= \frac{x_3^{(i)} - x_2^{(i)}}{\Delta_i}; \\ a_2^{(i)} &= \frac{x_3^{(i)}y_1^{(i)} - y_3^{(i)}x_1^{(i)}}{\Delta_i}; & b_2^{(i)} &= \frac{y_3^{(i)} - y_1^{(i)}}{\Delta_i}; & c_2^{(i)} &= \frac{x_1^{(i)} - x_3^{(i)}}{\Delta_i}; \\ a_3^{(i)} &= \frac{x_1^{(i)}y_2^{(i)} - y_1^{(i)}x_2^{(i)}}{\Delta_i}; & b_3^{(i)} &= \frac{y_1^{(i)} - y_2^{(i)}}{\Delta_i}; & c_3^{(i)} &= \frac{x_2^{(i)} - x_1^{(i)}}{\Delta_i}; \\ \text{for } j &= 1, 2, 3 \\ \text{define } N_j^{(i)}(x, y) &= a_j^{(i)} + b_j^{(i)}x + c_j^{(i)}y. \end{aligned}$$

**Step 4** For  $i = 1, \dots, M$  (可以用數值積分求 Steps 4 及 5 中的積分值)

for  $j = 1, 2, 3$

for  $k = 1, \dots, j$  (計算三角形上的所有雙重積分)

$$\text{set } z_{j,k}^{(i)} = b_j^{(i)} b_k^{(i)} \iint T_i p(x, y) dx dy + c_j^{(i)} c_k^{(i)} \iint T_i q(x, y) dx dy$$

$$- \iint T_i r(x, y) N_j^{(i)}(x, y) N_k^{(i)}(x, y) dx dy;$$

$$\text{set } H_j^{(i)} = - \iint T_i f(x, y) N_j^{(i)}(x, y) dx dy.$$

**Step 5** For  $i = K + 1, \dots, N$  (計算所有線積分)

for  $j = 1, 2, 3$

for  $k = 1, \dots, j$

$$\text{set } J_{j,k}^{(i)} = \int_{S_2} g_1(x, y) N_j^{(i)}(x, y) N_k^{(i)}(x, y) dS;$$

$$\text{set } I_j^{(i)} = \int_{S_2} g_2(x, y) N_j^{(i)}(x, y) dS.$$

**Step 6** For  $i = 1, \dots, M$  do Steps 7–12. (將每個三角形上的積分組合為線性方程組)

**Step 7** For  $k = 1, 2, 3$  do Steps 8–12.

**Step 8** Find  $l$  so that  $E_l = (x_k^{(i)}, y_k^{(i)})$ .

**Step 9** If  $k > 1$  then for  $j = 1, \dots, k - 1$  do Steps 10, 11.

**Step 10** Find  $t$  so that  $E_t = (x_j^{(i)}, y_j^{(i)})$ .

**Step 11** If  $l \leq n$  then

if  $t \leq n$  then set  $\alpha_{lt} = \alpha_{lt} + z_{k,j}^{(i)}$ ;

$\alpha_{tl} = \alpha_{tl} + z_{k,j}^{(i)}$

else set  $\beta_l = \beta_l - \gamma_l z_{k,j}^{(i)}$

else

if  $t \leq n$  then set  $\beta_t = \beta_t - \gamma_t z_{k,j}^{(i)}$ .

**Step 12** If  $l \leq n$  then set  $a_{ll} = \alpha_{ll} + z_{k,k}^{(i)}$ ;

$\beta_l = \beta_l + H_k^{(i)}$ .

**Step 13** For  $i = K + 1, \dots, N$  do Steps 14–19. (將線積分值加入線性方程組)

**Step 14** For  $k = 1, 2, 3$  do Steps 15–19.

**Step 15** Find  $l$  so that  $E_l = (x_k^{(i)}, y_k^{(i)})$ .

**Step 16** If  $k > 1$  then for  $j = 1, \dots, k - 1$  do Steps 17, 18.

**Step 17** Find  $t$  so that  $E_t = (x_j^{(i)}, y_j^{(i)})$ .

**Step 18** If  $l \leq n$  then

if  $t \leq n$  then set  $\alpha_{lt} = \alpha_{lt} + J_{k,j}^{(i)}$ ;

$\alpha_{tl} = \alpha_{tl} + J_{k,j}^{(i)}$

else set  $\beta_l = \beta_l - \gamma_l J_{k,j}^{(i)}$

else

if  $t \leq n$  then set  $\beta_t = \beta_t - \gamma_t J_{k,j}^{(i)}$ .

**Step 19** If  $l \leq n$  then set  $\alpha_{ll} = \alpha_{ll} + J_{k,k}^{(i)}$ ;  
 $\beta_l = \beta_l + I_k^{(i)}$ .

**Step 20** 解線性方程組  $A\mathbf{c} = \mathbf{b}$ ，其中  $A = (\alpha_{lt})$ 、 $\mathbf{b} = (\beta_l)$  及  $\mathbf{c} = (\gamma_t)$ ，

$1 \leq l \leq n$  且  $1 \leq t \leq n$

**Step 21** OUTPUT  $(\gamma_1, \dots, \gamma_m)$ .

(若  $E_k = (x_j^{(i)}, y_j^{(i)})$ ，對每個  $k = 1, \dots, m$  令  $T_i$  上的  $\phi_k = N_j^{(i)}$ 。)

則在  $D \cup S_1 \cup S_2$  上  $\phi(x, y) = \sum_{k=1}^m \gamma_k \phi_k(x, y)$  為  $u(x, y)$  的近似值。)

**Step 22** For  $i = 1, \dots, M$

for  $j = 1, 2, 3$  OUTPUT  $(a_j^{(i)}, b_j^{(i)}, c_j^{(i)})$ .

**Step 23** STOP. (程序完成) ■

**說明題** 在 2D 區域  $D$  之內的溫度分布  $u(x, y)$  滿足 Laplace 方程式

$$\frac{\partial^2 u}{\partial x^2}(x, y) + \frac{\partial^2 u}{\partial y^2}(x, y) = 0 \text{ 在 } D \text{ 之內。}$$

考慮圖 12.17 所示的區域  $D$ ，已知其邊界條件為

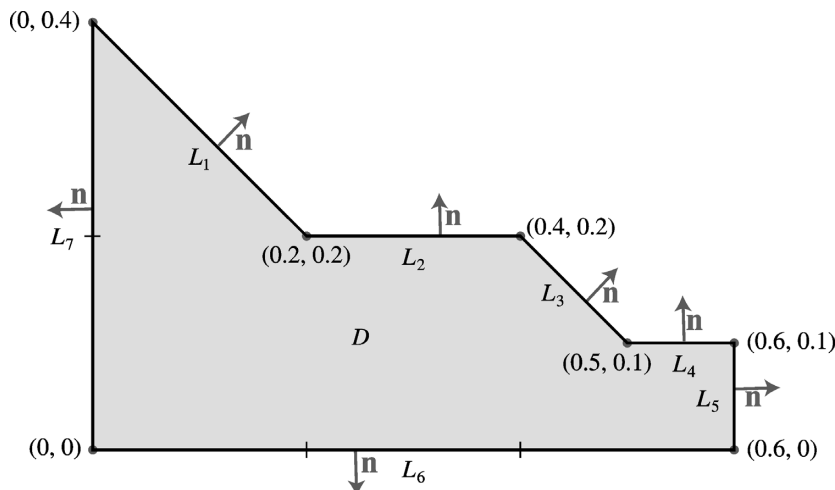
$$u(x, y) = 4, \quad (x, y) \in L_6 \text{ 且 } (x, y) \in L_7$$

$$\frac{\partial u}{\partial \mathbf{n}}(x, y) = x, \quad (x, y) \in L_2 \text{ 且 } (x, y) \in L_4$$

$$\frac{\partial u}{\partial \mathbf{n}}(x, y) = y, \quad (x, y) \in L_5$$

$$\frac{\partial u}{\partial \mathbf{n}}(x, y) = \frac{x+y}{\sqrt{2}}, \quad (x, y) \in L_1 \text{ 且 } (x, y) \in L_3$$

其中  $\frac{\partial u}{\partial \mathbf{n}}$  是在點  $(x, y)$  處邊界的法線方向  $\mathbf{n}$  的方向導數。



| 圖 12.17

我們首先依算則的 Step 0 所建議的編號原則劃分區域  $D$ 。在此例中  $S_1 = L_6 \cup L_7$  且  $S_2 = L_1 \cup L_2 \cup L_3 \cup L_4 \cup L_5$ 。三角形之編號如圖 12.18 所示。

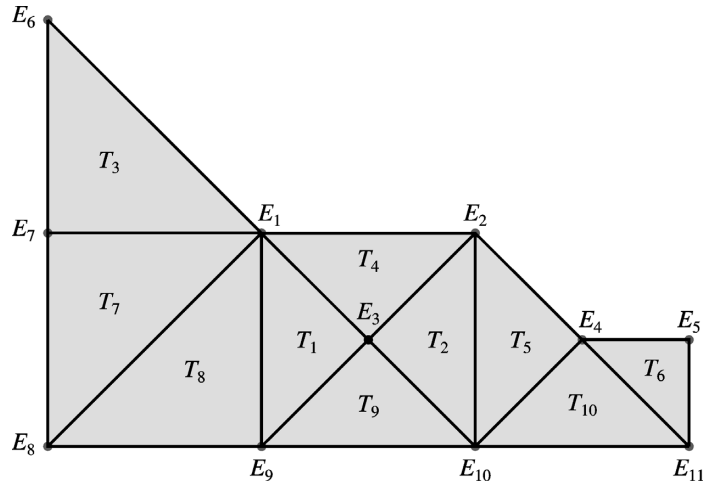


圖 12.18

由  $L_6$  及  $L_7$  的邊界條件  $u(x, y) = 4$  可得，在  $t = 6, 7, \dots, 11$  時，也就是在節點  $E_6, E_7, \dots, E_{11}$ ， $\gamma_t = 4$ 。要求出  $l = 1, 2, \dots, 5$  時的  $\gamma_l$ ，我們依循算則中其餘的步驟，並產生矩陣

$$A = \begin{bmatrix} 2.5 & 0 & -1 & 0 & 0 \\ 0 & 1.5 & -1 & -0.5 & 0 \\ -1 & -1 & 4 & 0 & 0 \\ 0 & -0.5 & 0 & 2.5 & -0.5 \\ 0 & 0 & 0 & -0.5 & 1 \end{bmatrix}$$

及向量

$$\mathbf{b} = \begin{bmatrix} 6.066\bar{6} \\ 0.063\bar{3} \\ 8.0000 \\ 6.056\bar{6} \\ 2.031\bar{6} \end{bmatrix}$$

方程組  $A\mathbf{c} = \mathbf{b}$  的解是

$$\mathbf{c} = \begin{bmatrix} \gamma_1 \\ \gamma_2 \\ \gamma_3 \\ \gamma_4 \\ \gamma_5 \end{bmatrix} = \begin{bmatrix} 4.0383 \\ 4.0782 \\ 4.0291 \\ 4.0496 \\ 4.0565 \end{bmatrix}$$

由此可得在每個三角形上 Laplace 方程式的近似解及邊界條件為：

- $T_1 : \phi(x, y) = 4.0383(1 - 5x + 5y) + 4.0291(-2 + 10x) + 4(2 - 5x - 5y)$
- $T_2 : \phi(x, y) = 4.0782(-2 + 5x + 5y) + 4.0291(4 - 10x) + 4(-1 + 5x - 5y)$
- $T_3 : \phi(x, y) = 4(-1 + 5y) + 4(2 - 5x - 5y) + 4.0383(5x),$
- $T_4 : \phi(x, y) = 4.0383(1 - 5x + 5y) + 4.0782(-2 + 5x + 5y) + 4.0291(2 - 10y)$
- $T_5 : \phi(x, y) = 4.0782(2 - 5x + 5y) + 4.0496(-4 + 10x) + 4(3 - 5x - 5y)$
- $T_6 : \phi(x, y) = 4.0496(6 - 10x) + 4.0565(-6 + 10x + 10y) + 4(1 - 10y)$
- $T_7 : \phi(x, y) = 4(-5x + 5y) + 4.0383(5x) + 4(1 - 5y)$
- $T_8 : \phi(x, y) = 4.0383(5y) + 4(1 - 5x) + 4(5x - 5y)$
- $T_9 : \phi(x, y) = 4.0291(10y) + 4(2 - 5x - 5y) + 4(-1 + 5x - 5y)$
- $T_{10} : \phi(x, y) = 4.0496(10y) + 4(3 - 5x - 5y) + 4(-2 + 5x - 5y)$

此邊界值問題的確解為  $u(x, y) = xy + 4$ 。表 12.7 比較了在  $i = 1, \dots, 5$  之  $E_i$  處的  $u$  及  $\phi$  的值。

表 12.7

$x$	$y$	$\phi(x, y)$	$u(x, y)$	$ \phi(x, y) - u(x, y) $
0.2	0.2	4.0383	4.04	0.0017
0.4	0.2	4.0782	4.08	0.0018
0.3	0.1	4.0291	4.03	0.0009
0.5	0.1	4.0496	4.05	0.0004
0.6	0.1	4.0565	4.06	0.0035

對於像 (12.27) 式這種係數平順的二階橢圓型偏微分方程，其典型的誤差為  $O(h^2)$ ，其中  $h$  為三角形元素的最大直徑。對於使用雙線性基底函數的矩形元素而言，預期它的誤差也是  $O(h^2)$ ，而  $h$  為矩形元素的最大對角線長。使用其他的基底函數也可獲得  $O(h^4)$  的結果，但建構的過程更複雜。我們很難說明或應用有限元素法的誤差理論，因為近似解的準確度取決於解的連續性及邊界的規則程度。

有限元素法也可用於求解拋物線型及雙曲線型偏微分方程，但最小化的過程較困難。在論文 [Fi] 中，對於有限元素法在各種物理問題的應用及優點，有很好的說明。更深入的探討可參考 [SF]、[ZM] 或 [AB]。

## 習題組 12.4

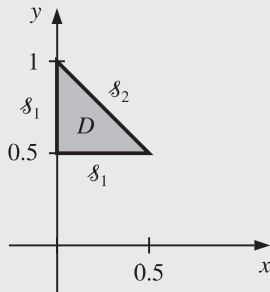
完整習題請見隨書光碟

1. 用算則 12.5 求以下偏微分方程的近似解 (參考下圖) :

$$\frac{\partial}{\partial x} \left( y^2 \frac{\partial u}{\partial x}(x, y) \right) + \frac{\partial}{\partial y} \left( y^2 \frac{\partial u}{\partial y}(x, y) \right) - yu(x, y) = -x, \quad (x, y) \in D$$

$$u(x, 0.5) = 2x, \quad 0 \leq x \leq 0.5, \quad u(0, y) = 0, \quad 0.5 \leq y \leq 1$$

$$\text{在 } (x, y) \in S_2 \text{ 時 } y^2 \frac{\partial u}{\partial x}(x, y) \cos \theta_1 + y^2 \frac{\partial u}{\partial y}(x, y) \cos \theta_2 = \frac{\sqrt{2}}{2} (y - x)$$



令  $M = 2$  ;  $T_1$  的頂點為  $(0, 0.5)$ 、 $(0.25, 0.75)$ 、 $(0, 1)$ ；且  $T_2$  的頂點為  $(0, 0.5)$ 、 $(0.5, 0.5)$ 、 $(0.25, 0.75)$ 。

2. 使用以下三角形重做習題 1

$$T_1 : (0, 0.75), (0, 1), (0.25, 0.75)$$

$$T_2 : (0.25, 0.5), (0.25, 0.75), (0.5, 0.5)$$

$$T_3 : (0, 0.5), (0, 0.75), (0.25, 0.75)$$

$$T_4 : (0, 0.5), (0.25, 0.5), (0.25, 0.75)$$

3. 求偏微分方程

$$\frac{\partial^2 u}{\partial x^2}(x, y) + \frac{\partial^2 u}{\partial y^2}(x, y) - 12.5\pi^2 u(x, y) = -25\pi^2 \sin \frac{5\pi}{2} x \sin \frac{5\pi}{2} y, \quad 0 < x, y < 0.4$$

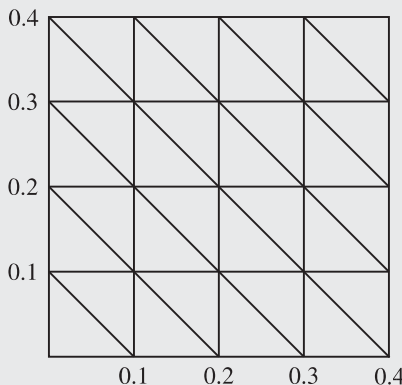
之近似解，其 Dirichlet 邊界條件為

$$u(x, y) = 0$$

使用有限元素法算則 12.5 及以下附圖所示之元素。將每個內部頂點的近似解與確解

$$u(x, y) = \sin \frac{5\pi}{2} x \sin \frac{5\pi}{2} y$$

做比較，同時比較點  $(0.125, 0.125)$ 、 $(0.125, 0.25)$ 、 $(0.25, 0.125)$  及  $(0.25, 0.25)$  上的值。



4. 重做習題 3，但使用  $f(x, y) = -25\pi^2 \cos \frac{5\pi}{2}x \cos \frac{5\pi}{2}y$  以及 Neumann 邊界條件

$$\frac{\partial u}{\partial n}(x, y) = 0$$

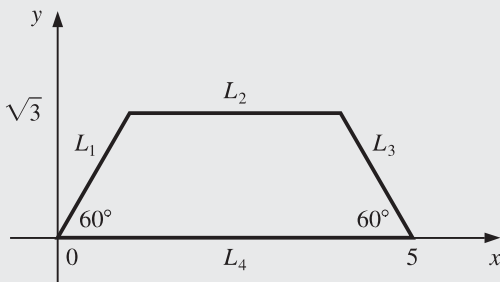
此問題之確解為

$$u(x, y) = \cos \frac{5\pi}{2}x \cos \frac{5\pi}{2}y$$

5. 一塊梯形銀板（見附圖），在每一點上以  $q = 1.5 \text{ cal/cm}^3 \cdot \text{s}$  的速率均勻的產生熱。此銀板上的穩態溫度分布  $u(x, y)$  滿足普松方程式

$$\frac{\partial^2 u}{\partial x^2}(x, y) + \frac{\partial^2 u}{\partial y^2}(x, y) = \frac{-q}{k}$$

其中熱傳導係數  $k$  為  $1.04 \text{ cal/cm.deg.s}$ 。設定在  $L_2$  溫度維持  $15^\circ\text{C}$  不變，在斜邊  $L_1$  及  $L_3$ ，熱量依  $\partial u / \partial n = 4$  的邊界條件散失，在  $L_4$  則沒有溫度散失，也就是  $\partial u / \partial n = 0$ 。用算則 12.5 求點  $(1, 0)$ 、 $(4, 0)$  及  $(\frac{5}{2}, \sqrt{3}/2)$  處溫度的近似值。



## 12.5 檢視方法與軟體

在本章中，我們介紹了求偏微分方程近似解的方法。對於橢圓型偏微分方程，我們只探討了普松方程式，在拋物線型偏微分方程中則以熱傳或擴散方程式為例，對雙曲線型偏微分方程則以波動方程式為例。分別探討了以有限差分法求這 3 個例子的近似解。

在一個矩形區域的普松方程式，須要求解一個很大的稀疏方程組，我們建議用迭代法求解這種方程組，例如 SOR 法。對於熱傳方程式，我們介紹了 4 種有限差分法。因為前向差分法及理察森法有穩定性的問題，所以又介紹了後向差分法及 Crank-Nicolson 法。雖然這類隱式法在每一次時間步進，須要解一個三對角線方程組，但它們比前向差分法及理察森法穩定。用於波動方程式的有限差分法也是顯式的，在特定的時間及空間離散方式下也會有穩定性的問題。

在本章的最後一節，我們簡單介紹了有限元素法，用以求解多邊形區域的自伴橢圓型偏微分方程。雖然此方法足可求解本書所列例題，但要做為一般商用軟體，還須要許多的一般化及修改。

在 IMSL 程式庫中有一個副程式可用來解偏微分方程

$$\frac{\partial u}{\partial t} = F \left( x, t, u, \frac{\partial u}{\partial x}, \frac{\partial^2 u}{\partial x^2} \right)$$

配合邊界條件

$$\alpha(x, t)u(x, t) + \beta(x, t)\frac{\partial u}{\partial x}(x, t) = \gamma(x, t)$$

此副程式所用的方法是，在每個時間  $t$ ，使用  $x$  軸上的高斯點的共位法，並用三次 Hermite 雲形線做基底函數。IMSL 的另一個副程式可以解矩形區域的普松方程式。

在 NAG 程式庫中有許多可用於解偏微分方程的副程式。有一個副程式可以解  $xy$  平面上任意區域的 Laplace 方程式，另一個副程式則用直線法 (method of lines) 解單一拋物線型偏微分方程。

也有專屬的軟體如 NASTRAN，包含了有限元素法的程式。這些軟體在工程應用上使用普遍。在 netlib 程式庫中的 FISHPACK 則可求解可分離的橢圓型偏微分方程。解偏微分方程的通用程式很難寫，因為要定義各種幾何形狀的區域。目前對偏微分方程解法的研究，仍十分活躍。

在本書中，我們只介紹了用於偏微分方程的各種解法的一小部分。對此要有更多的了解，可參考 Lapidus 和 Pinder [LP]、Twizell [Tw] 及 Morton 和 Mayers [MM] 最新的新書。相關軟體的資訊則可參考 Rice 和 Boisvert [RB] 及 Bank [Ban]。

專門討論有限差分法的書則有 Strikwerda [Strik]、Thomas [Th] 及 Shashkov 和

Steinberg [ShS]。關於有限元素法則可參考 Strange 和 Fix [SF] 以及 Zienkiewicz 和 Morgan [ZM]。Schiesser [Schi] 及 Gustafsson、Kreiss 和 Oliger [GKO] 討論依時性方程式的問題，而 Birkhoff 和 Lynch [BL] 及 Roache [Ro] 則討論求解橢圓型方程的問題。

多重格點法則利用疏格點的近似解，經迭代以獲得細格點的近似解。關於此方法可參考 Briggs [Brigg]、Mc Cormick [Mc] 及 Bramble [Bram]。